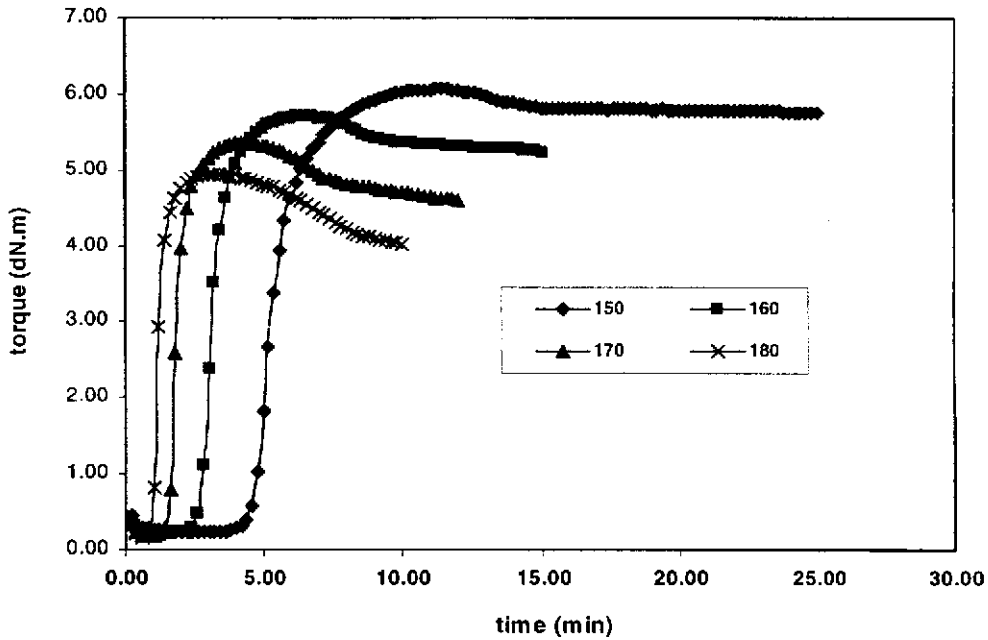
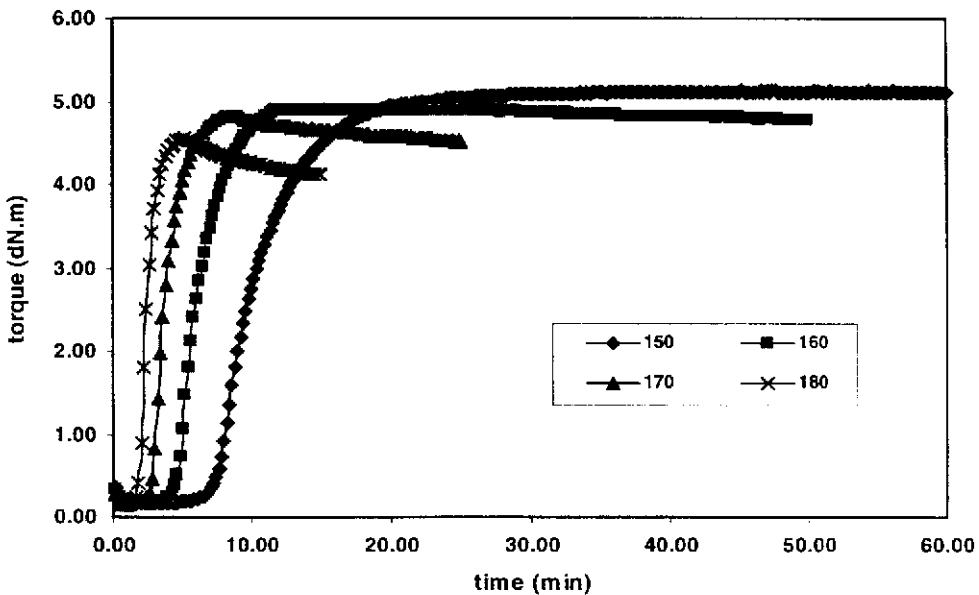


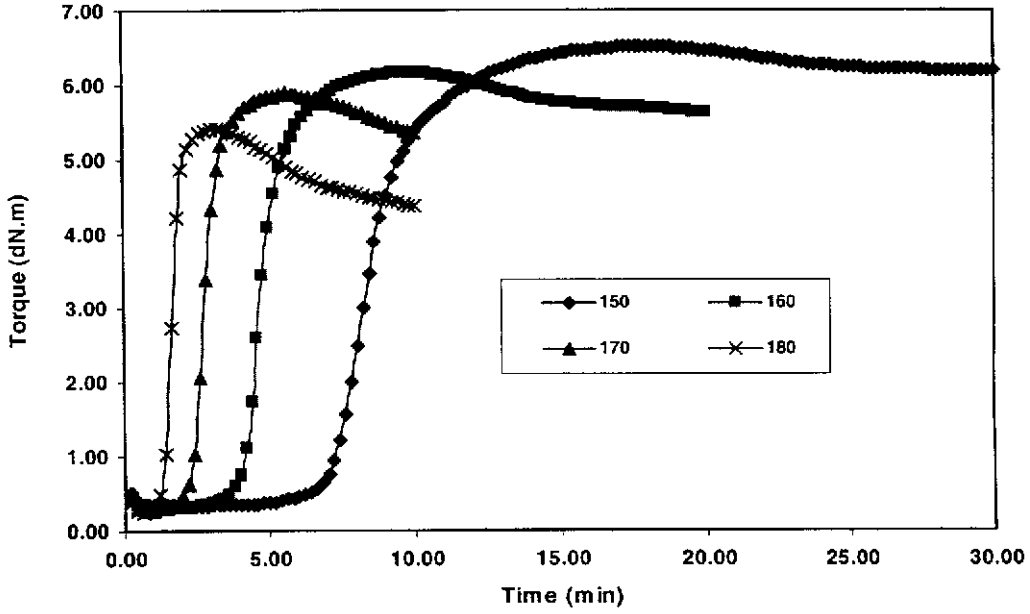
ภาคผนวก ก. กราฟแสดงลักษณะการวัดคาบไชน์ของยางธรรมชาติเกรดต่าง ๆ



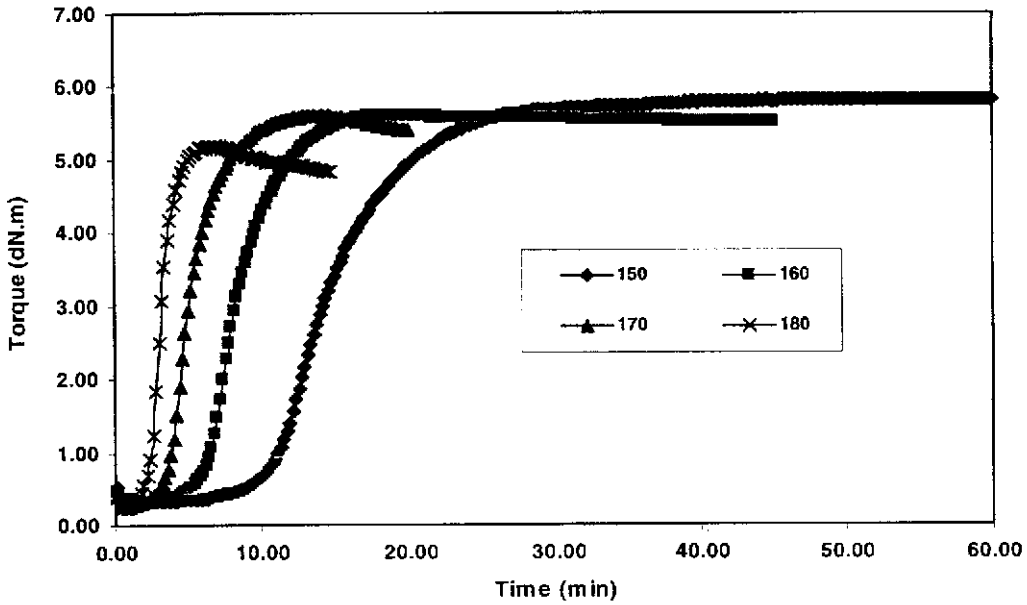
ภาพประกอบ ก.1 ลักษณะการวัดคาบไชน์ของยางธรรมชาติเกรด STR 20 ที่วัดคาบไชน์ด้วยระบบ เซมิอีวี (Semi-EV) ที่อุณหภูมิต่าง ๆ



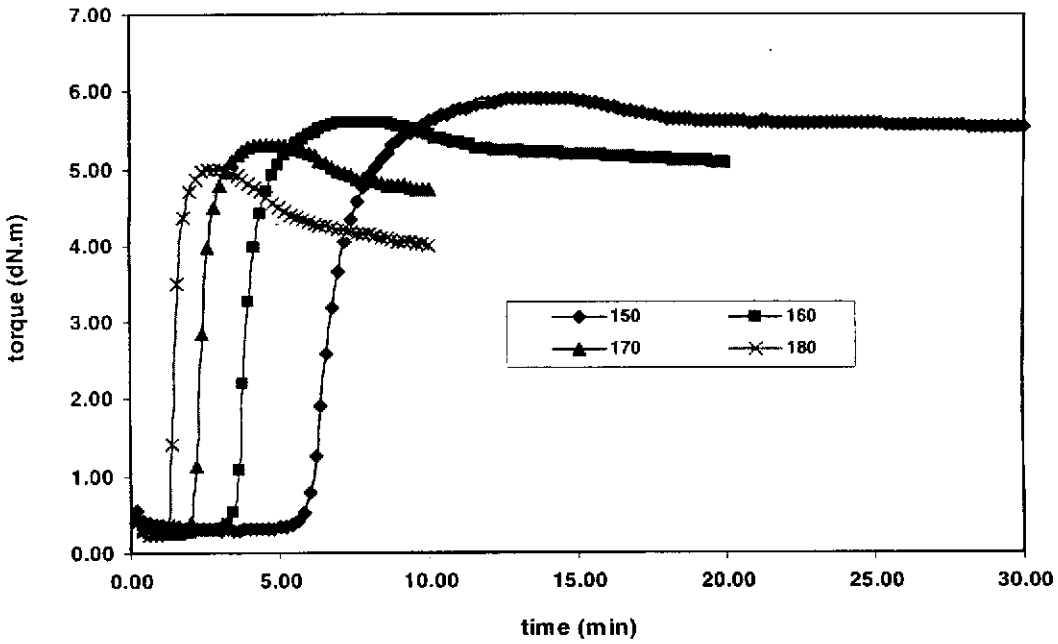
ภาพประกอบ ก.2 ลักษณะการวัดคาบไชน์ของยางธรรมชาติเกรด STR 20 ที่วัดคาบไชน์ด้วยระบบอีวี (EV) ที่อุณหภูมิต่าง ๆ



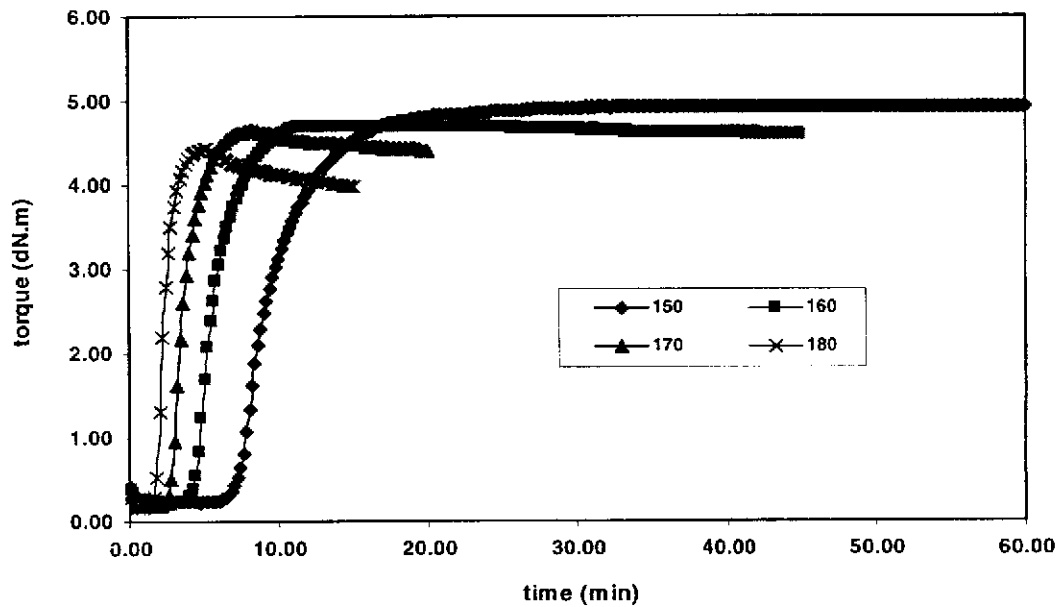
ภาพประกอบ ก.3 ลักษณะการวัดคาบไนซ์ของยางธรรมชาติเกรด STR 5L ที่วัดคาบไนซ์ด้วยระบบ เซมิอีวี (Semi-EV) ที่อุณหภูมิต่าง ๆ



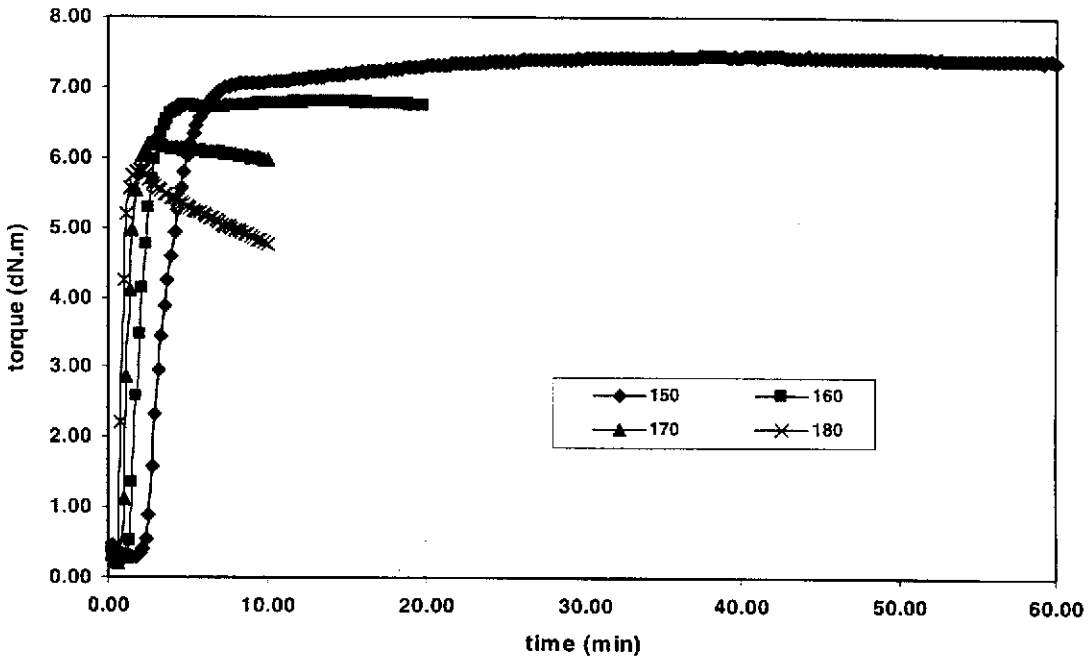
ภาพประกอบ ก.4 ลักษณะการวัดคาบไนซ์ของยางธรรมชาติเกรด STR 5L ที่วัดคาบไนซ์ด้วยระบบอีวี (EV) ที่อุณหภูมิต่าง ๆ



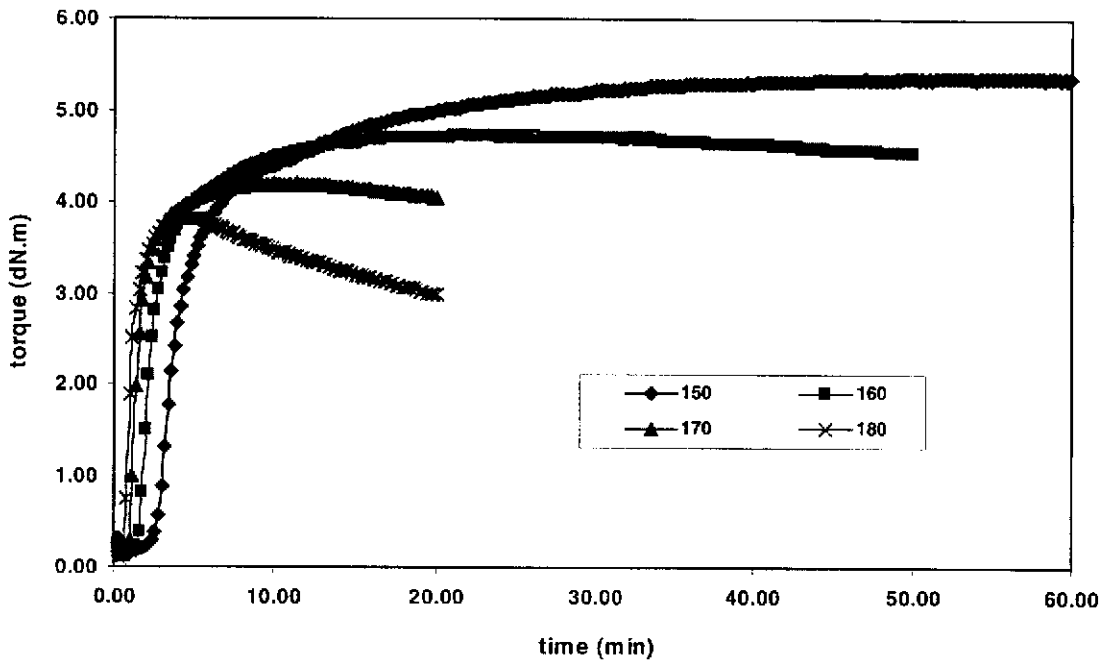
ภาพประกอบ ก.5 ลักษณะการวัดคาบไนซ์ของยางธรรมชาติเกรด ADS ที่วัดคาบไนซ์ด้วยระบบเซมิอีวี (Semi-EV) ที่อุณหภูมิต่าง ๆ



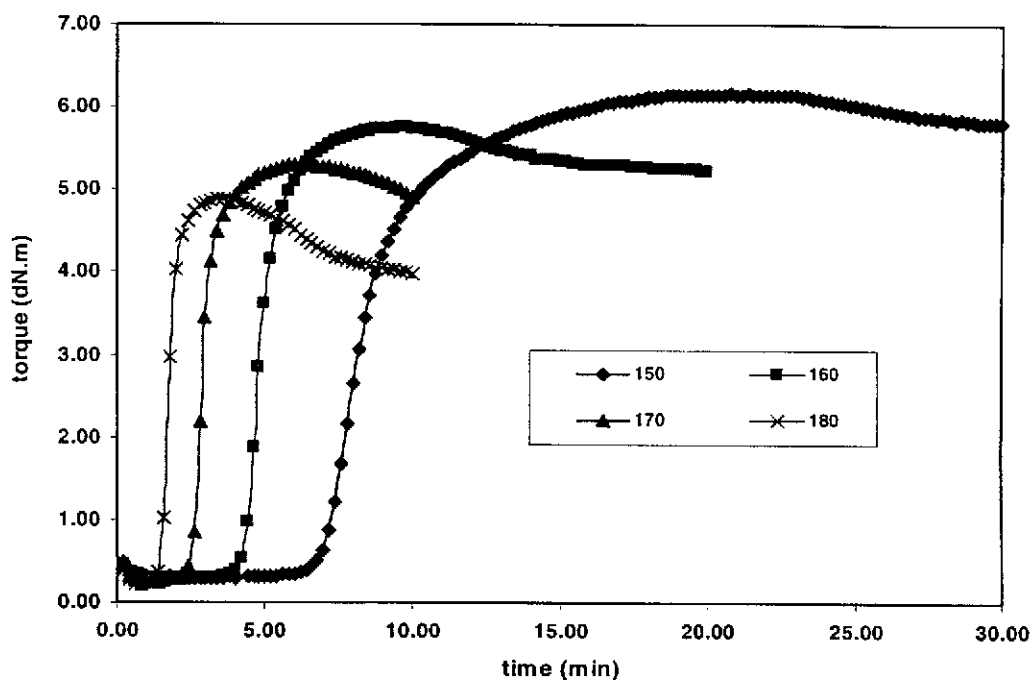
ภาพประกอบ ก.6 ลักษณะการวัดคาบไนซ์ของยางธรรมชาติเกรด ADS ที่วัดคาบไนซ์ด้วยระบบอีวี (EV) ที่อุณหภูมิต่าง ๆ



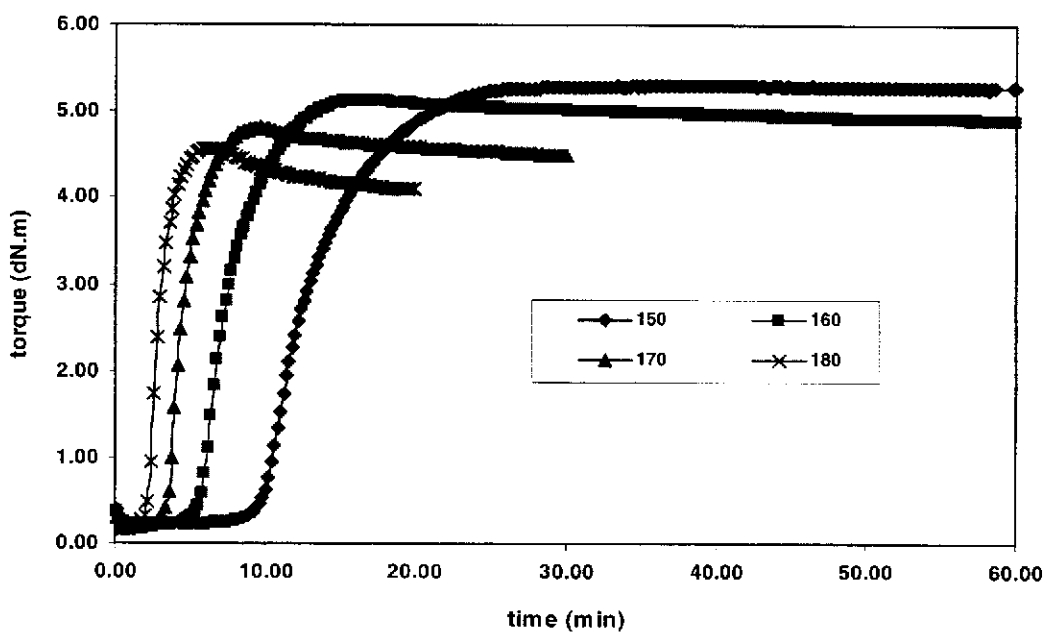
ภาพประกอบ ก.7 ลักษณะการวัดคาบไบนซ์ของยางสกิน ที่วัดคาบไบนซ์ด้วยระบบเซมิอีวี (Semi-EV) ที่อุณหภูมิต่าง ๆ



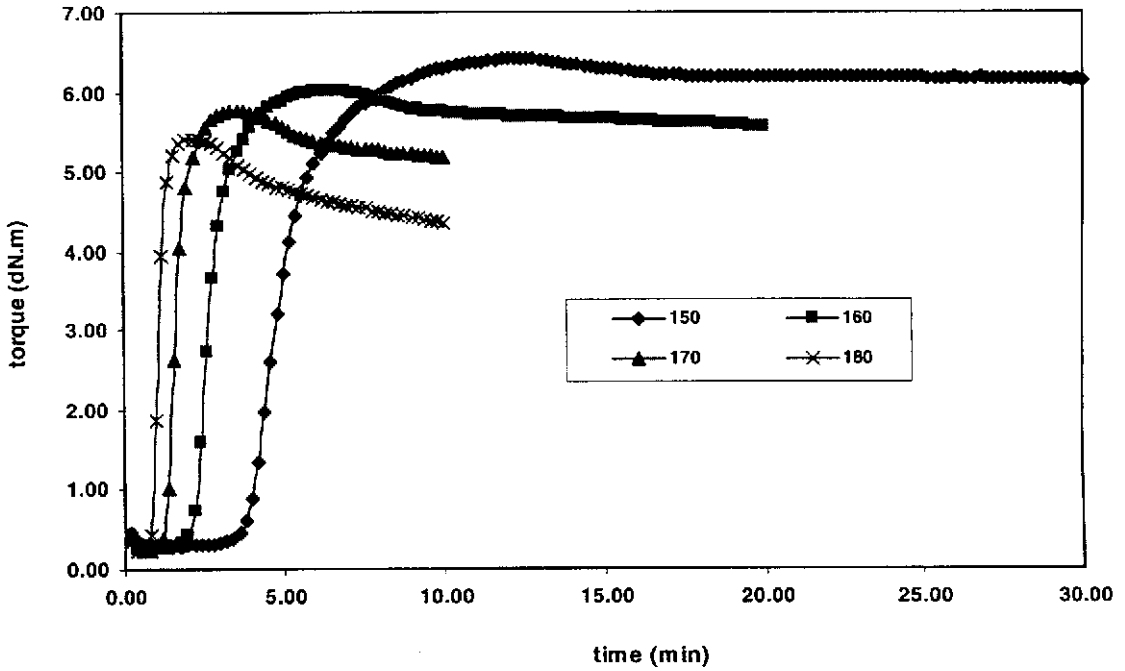
ภาพประกอบ ก.8 ลักษณะการวัดคาบไบนซ์ของยางสกิน ที่วัดคาบไบนซ์ด้วยระบบอีวี (EV) ที่อุณหภูมิต่าง ๆ



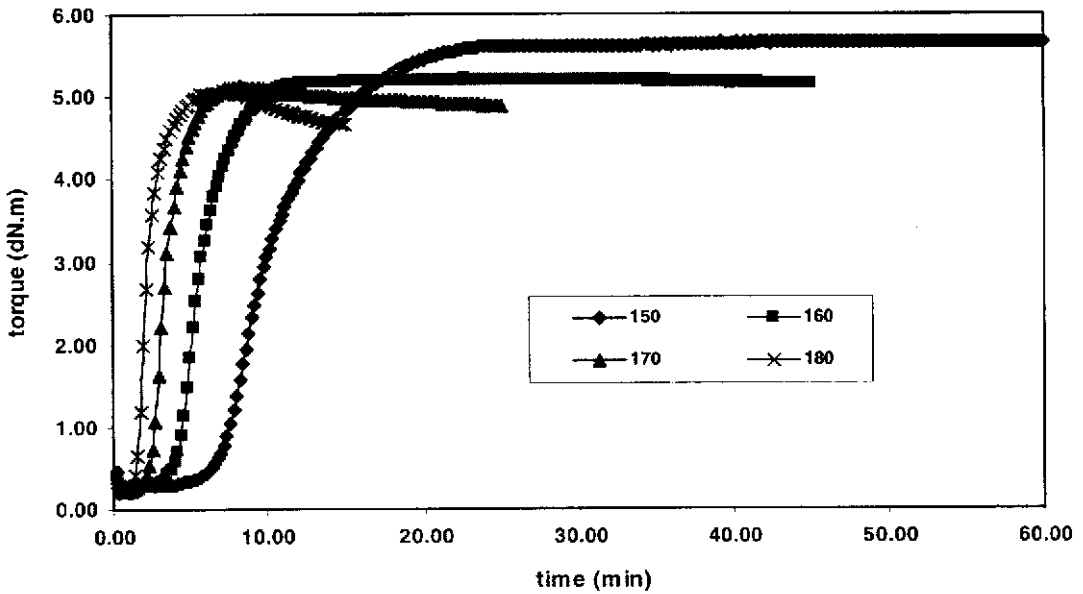
ภาพประกอบ ก.9 ลักษณะการวัดคาบไชน์ของยางธรรมชาติเกรด STR 5CV 60 ที่วัดคาบไชน์ด้วยระบบเซมิอีวี (Scmi-EV) ที่อุณหภูมิต่างๆ



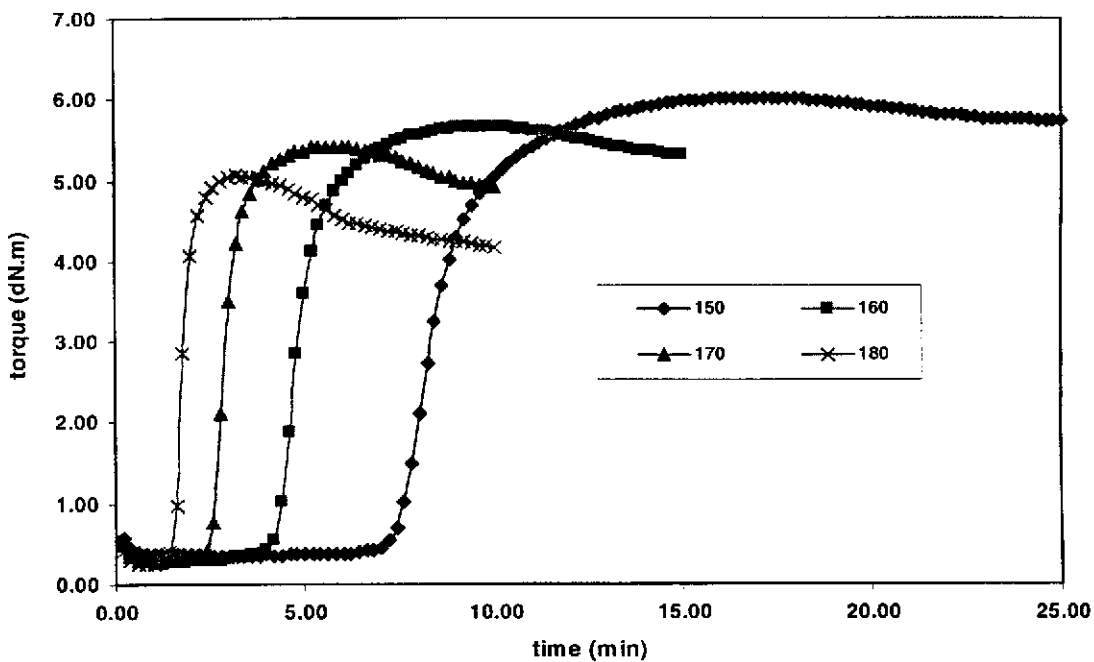
ภาพประกอบ ก.10 ลักษณะการวัดคาบไชน์ของยางธรรมชาติเกรด STR 5CV 60 ที่วัดคาบไชน์ด้วยระบบอีวี (EV) ที่อุณหภูมิต่างๆ



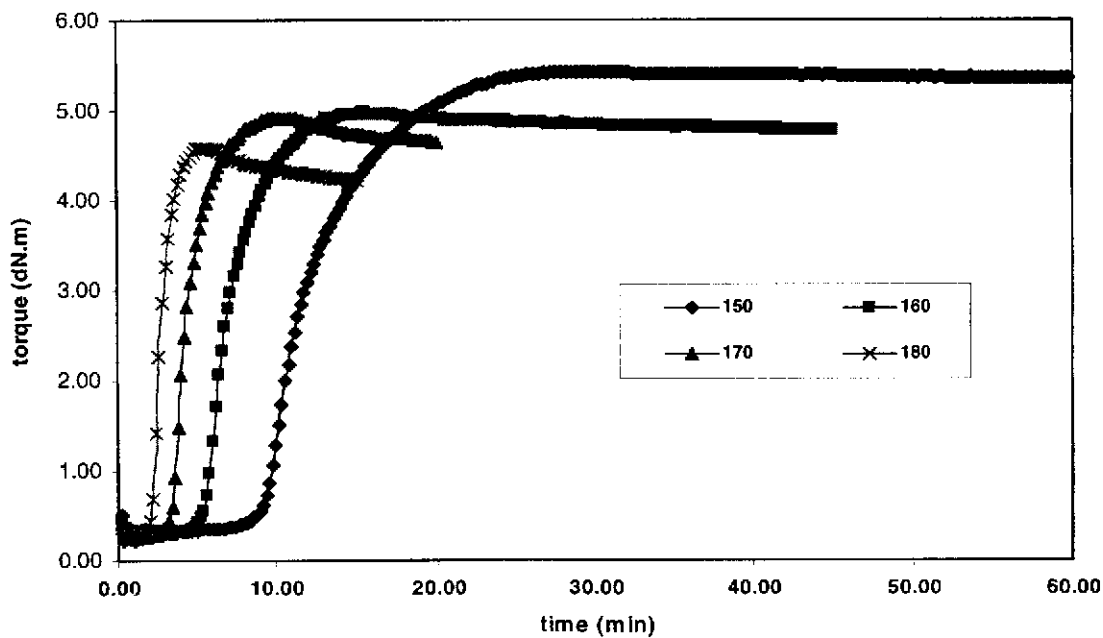
ภาพประกอบ ก.11 ลักษณะการวัดคาไนซ์ของยางแผ่นรมควันชั้น 3 ที่วัดคาไนซ์ด้วยระบบเซมิอีวี (Semi-EV) ที่อุณหภูมิต่าง ๆ



ภาพประกอบ ก.12 ลักษณะการวัดคาไนซ์ของยางแผ่นรมควันชั้น 3 ที่วัดคาไนซ์ด้วยระบบอีวี (EV) ที่อุณหภูมิต่าง ๆ

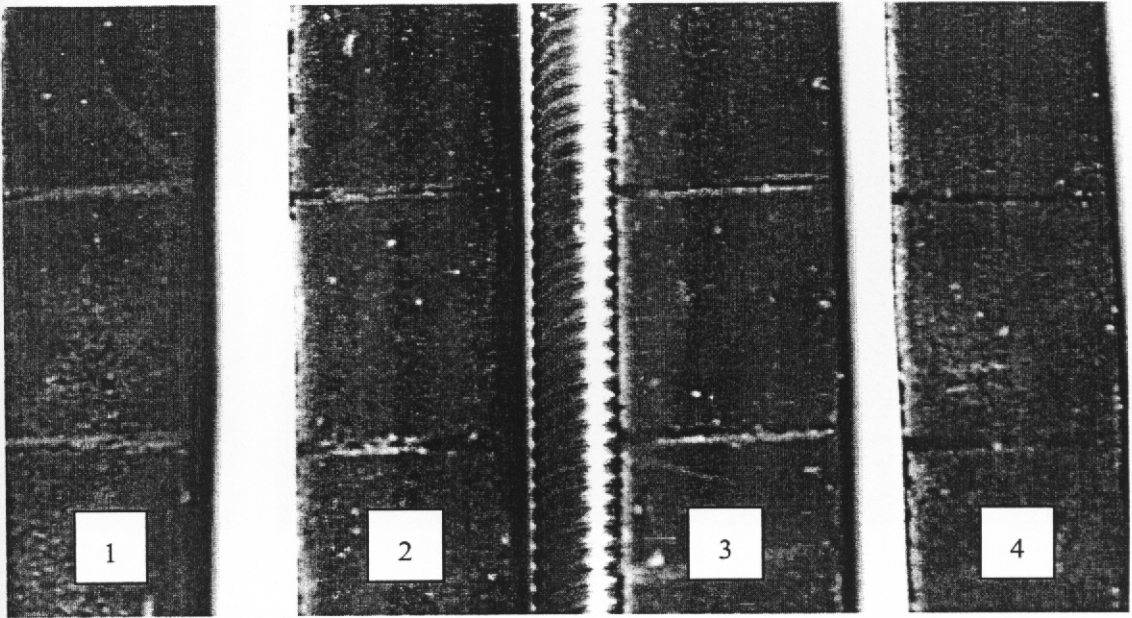


ภาพประกอบ ก.13 ลักษณะการวัดคาบไนซ์ของยางเครพขาวที่วัดคาบไนซ์ด้วยระบบเซมิอีวี (Semi-EV) ที่อุณหภูมิต่าง ๆ

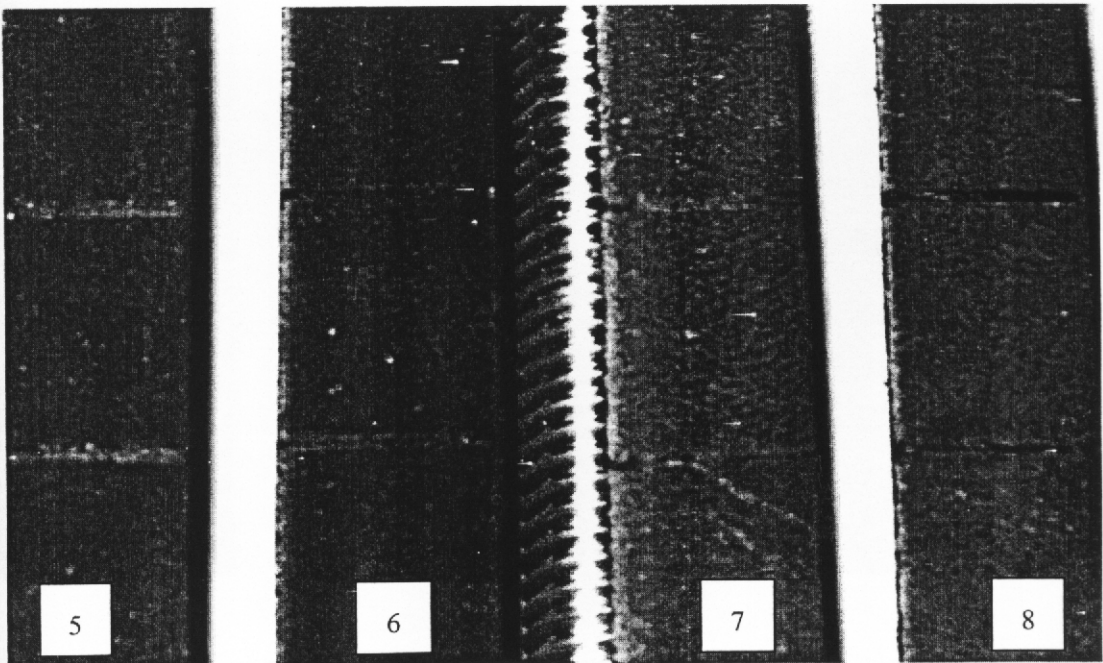


ภาพประกอบ ก.14 ลักษณะการวัดคาบไนซ์ของยางเครพขาวที่วัดคาบไนซ์ด้วยระบบอีวี (EV) ที่อุณหภูมิต่าง ๆ

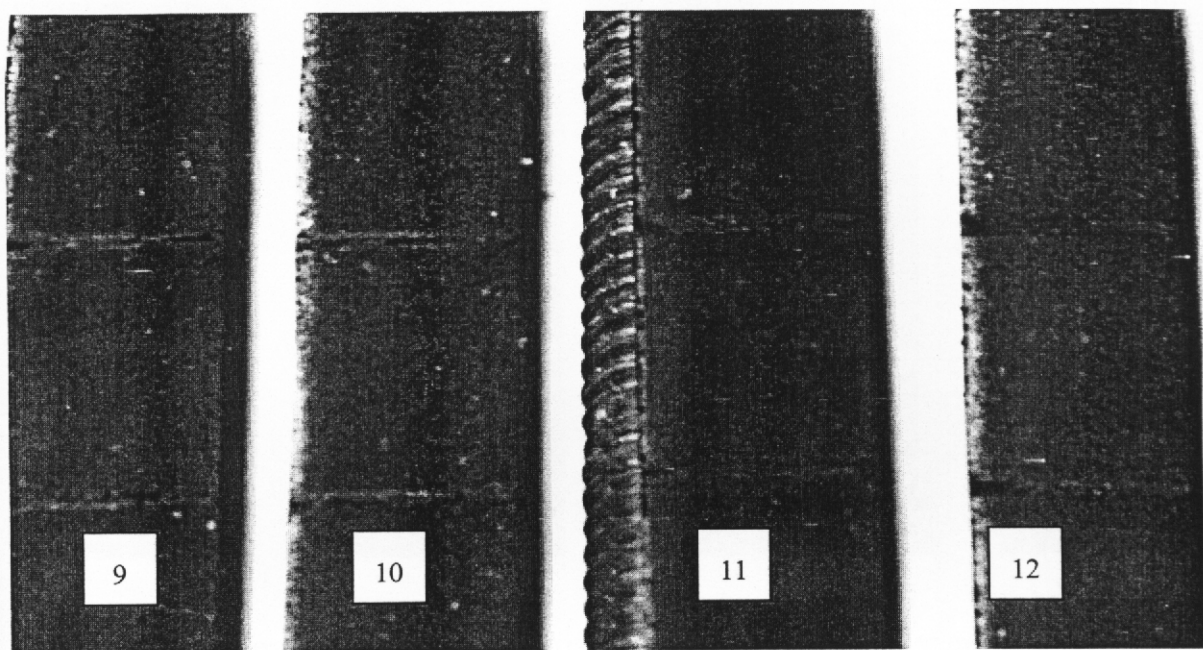
ภาคผนวก ข. ลักษณะของผิวยางหลังจากการทดสอบความทนทานต่อโอโซน



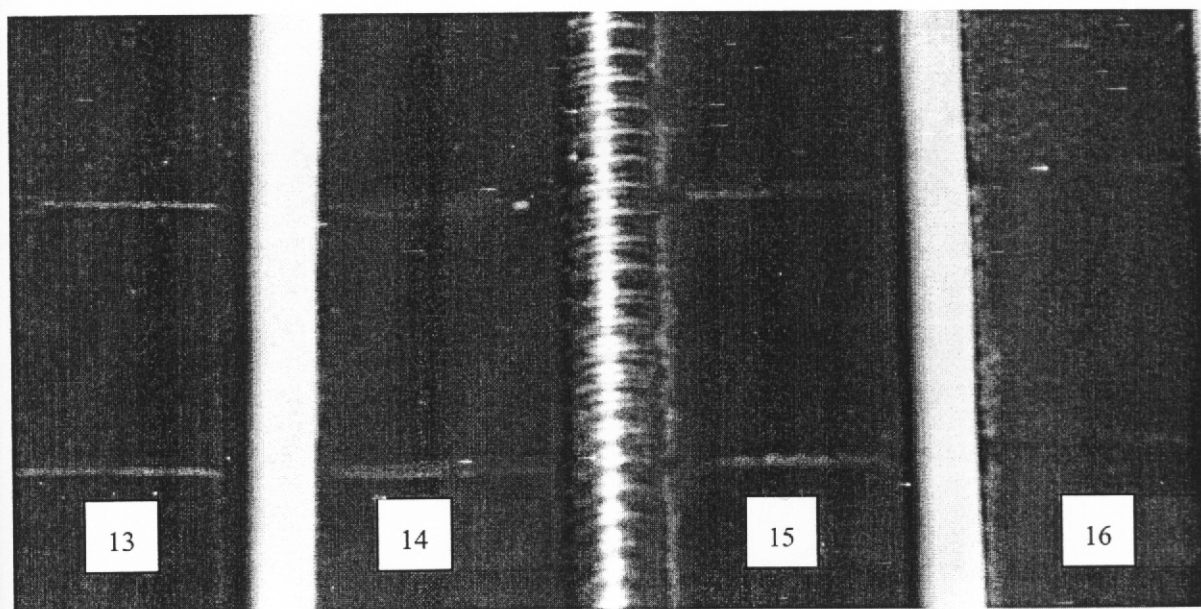
ภาพประกอบ ข.1 ลักษณะของผิวยางหลังจากการทดสอบความทนทานต่อโอโซนสูตรที่ 1 ถึง 4



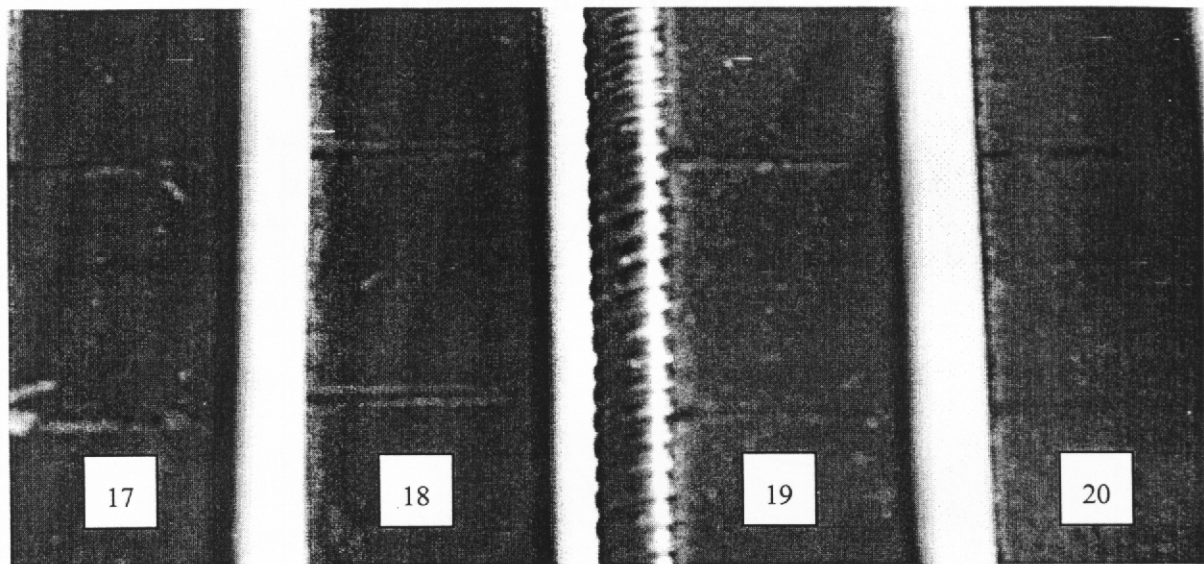
ภาพประกอบ ข.2 ลักษณะของผิวยางหลังจากการทดสอบความทนทานต่อโอโซนสูตรที่ 5 ถึง 8



ภาพประกอบ ข.3 ลักษณะของผิวยางหลังจากการทดสอบความทนทานต่อโอโซนสูตรที่ 9 ถึง 12

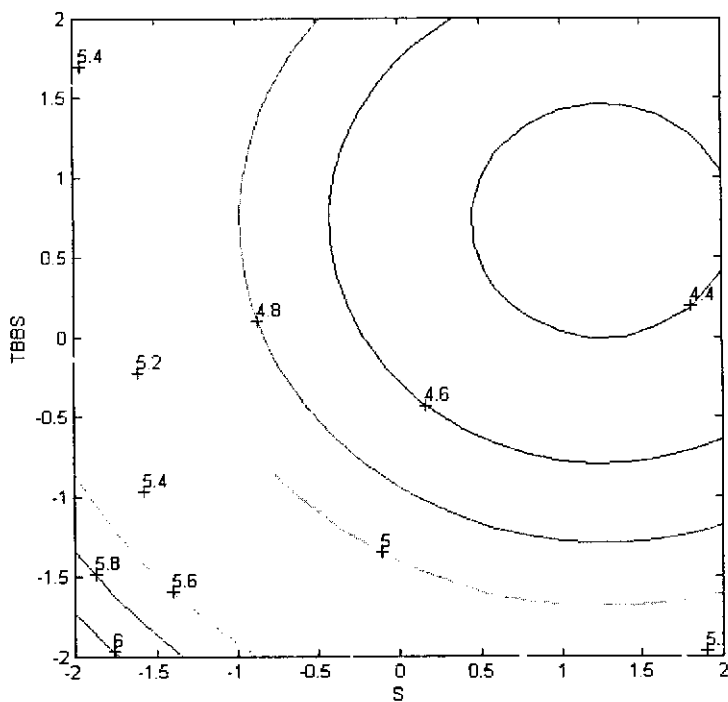


ภาพประกอบ ข.4 ลักษณะของผิวยางหลังจากการทดสอบความทนทานต่อโอโซนสูตรที่ 13 ถึง 16

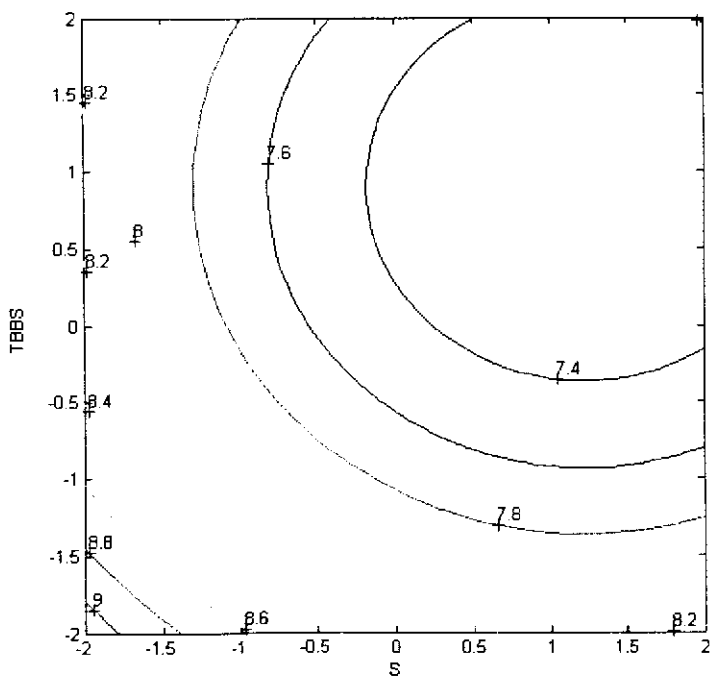


ภาพประกอบ ข.5 ลักษณะของผิวขางหลังจากการทดสอบความทนทานต่อไอโซนสตอร์ที่ 17 ถึง 20

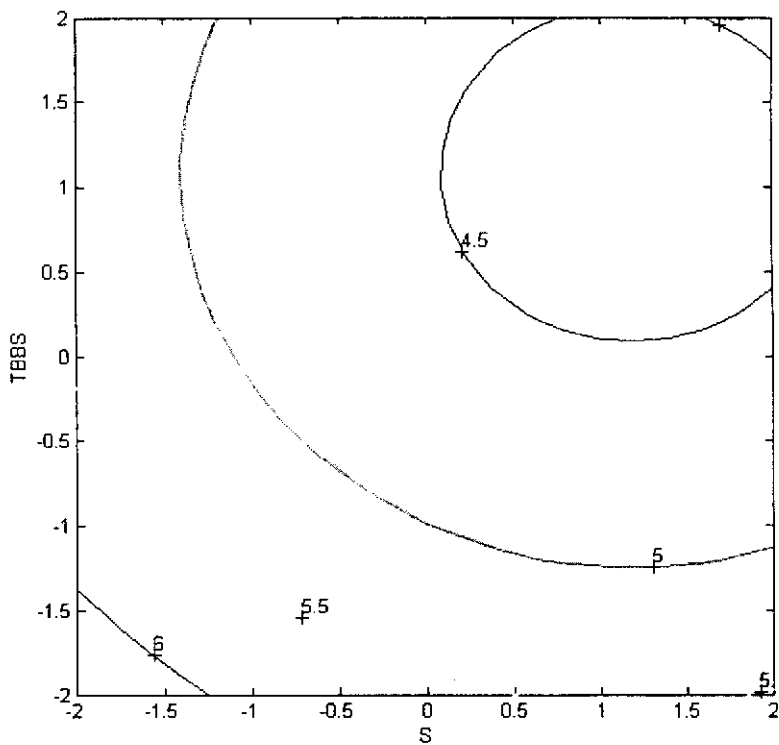
ภาคผนวก ก. กราฟคอนทัวร์



(ก) RSS/SKIM เท่ากับ 0.25 (รหัส -1.682)

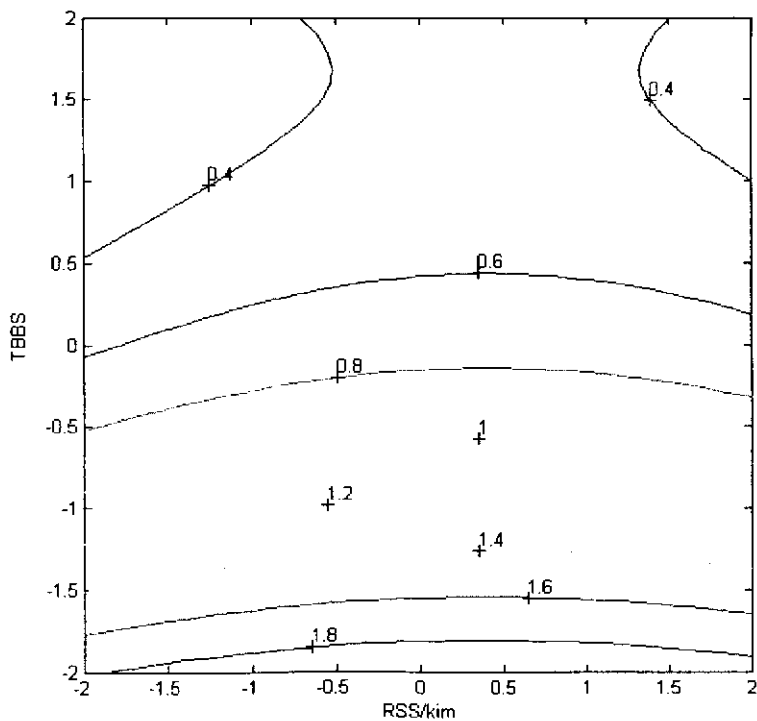


(ข) RSS/SKIM เท่ากับ 2.12 (รหัส 0)

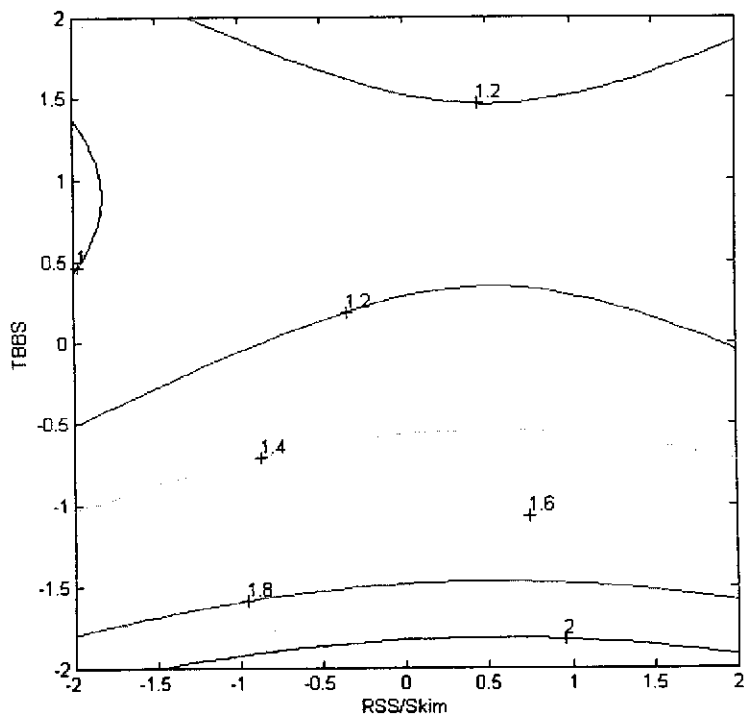


(ค) RSS/SKIM เท่ากับ 4.00 (รหัส 1.682)

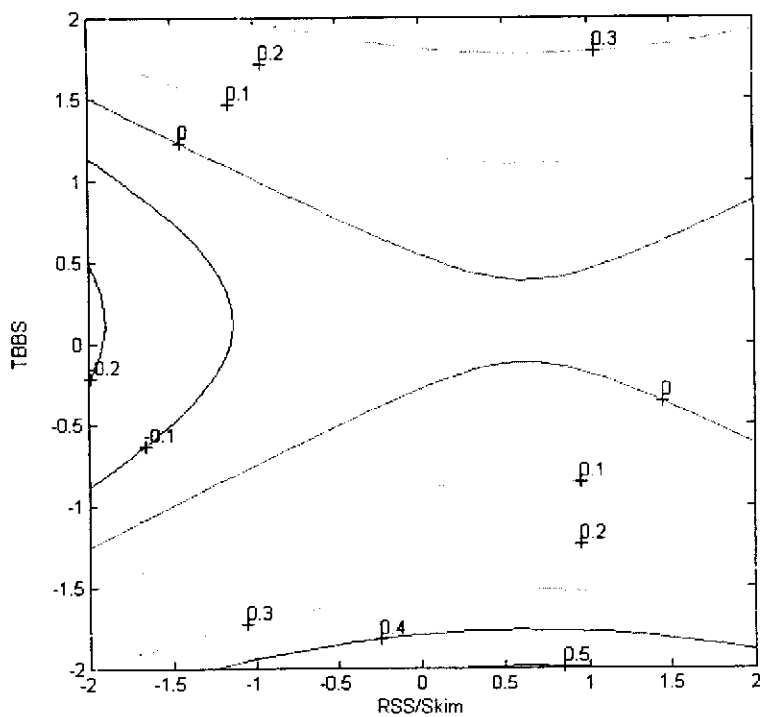
ภาพประกอบ ค.1 อิทธิพลของปริมาณกำมะถันและปริมาณสารตัวเร่ง TBBS ต่อค่า scorch time



(ก) S เท่ากับ 0.50 (รหัส -1.682)

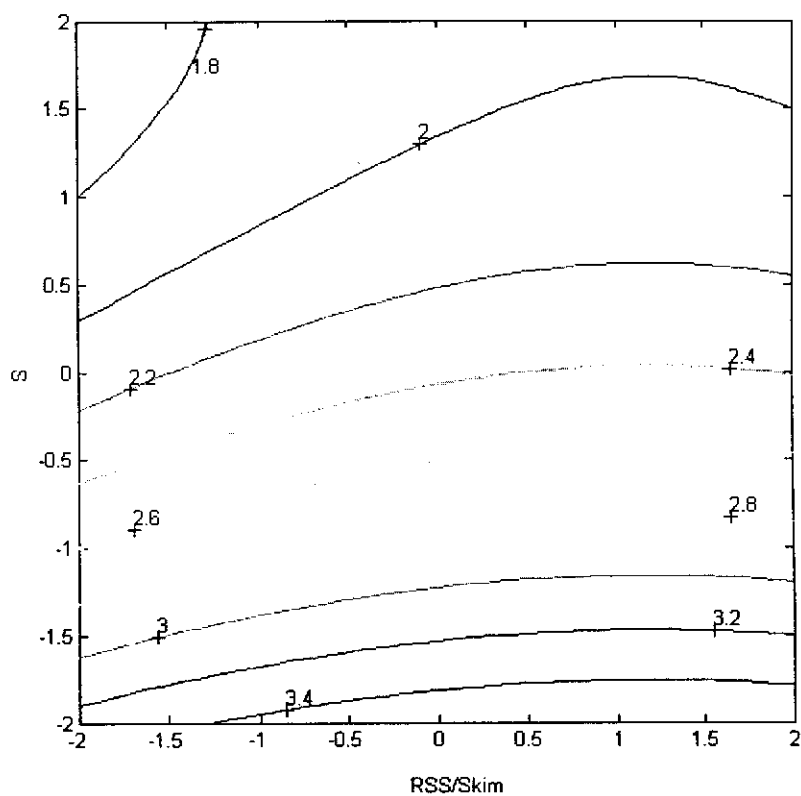


(ข) S เท่ากับ 1.50 (รหัส 0)

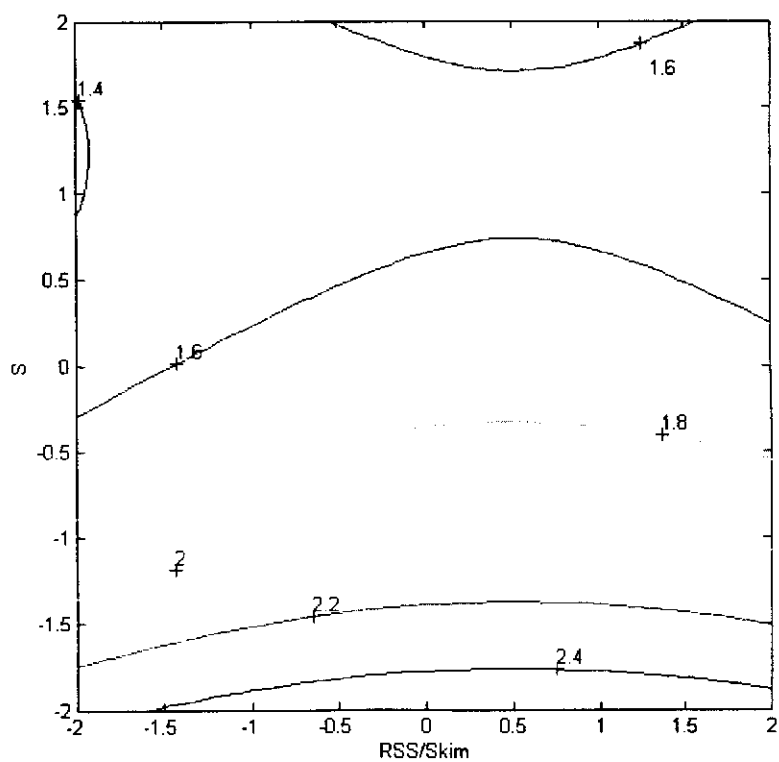


(ค) S เท่ากับ 2.50 (รหัส 1.682)

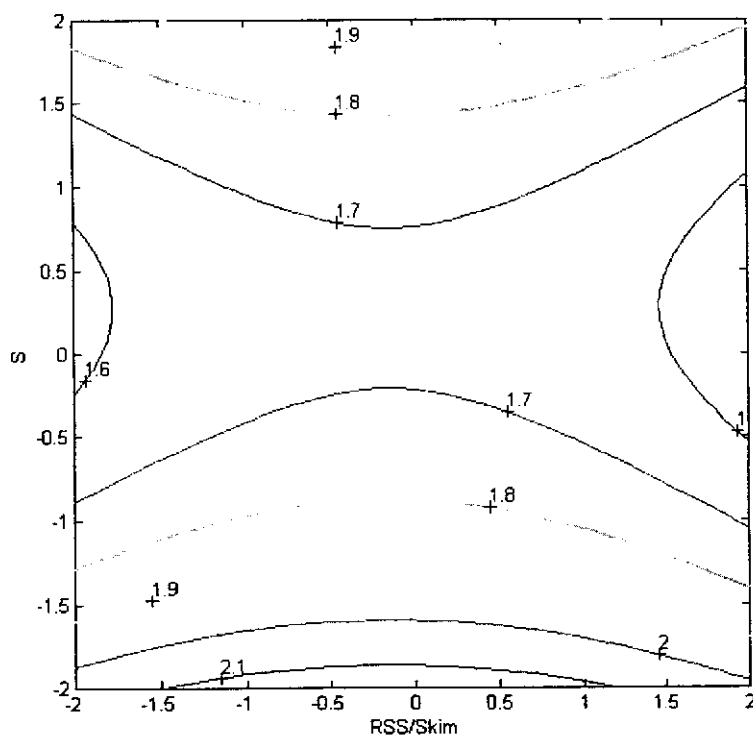
ภาพประกอบ ค.2 อิทธิพลของอัตราส่วนยาง RSS/SKIM และปริมาณสารตัวเร่ง TBBS ต่อค่า scorch time



(ก) TBBS เท่ากับ 0.75 (รหัส -1.682)

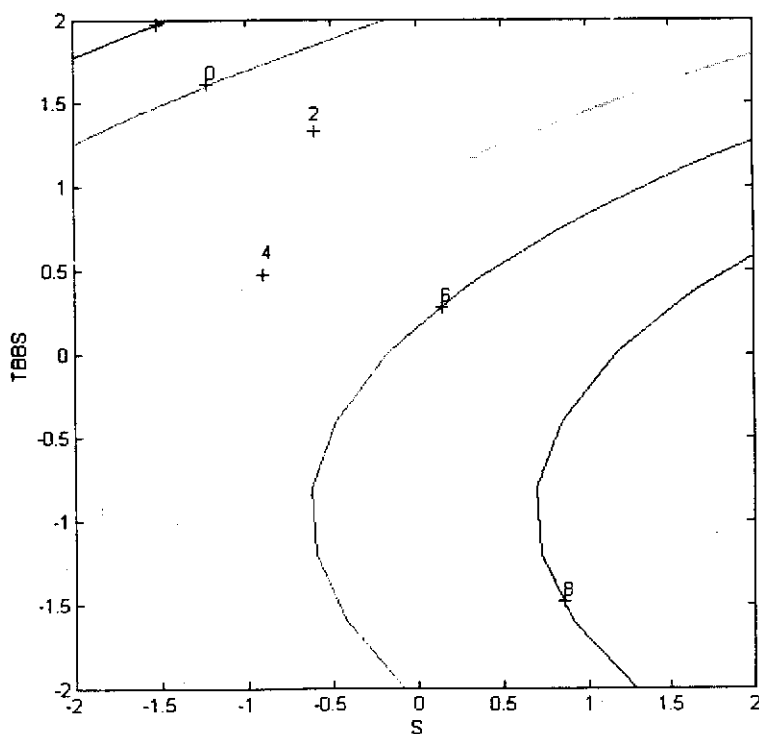


(ข) TBBS เท่ากับ 2.88 (รหัส 0)

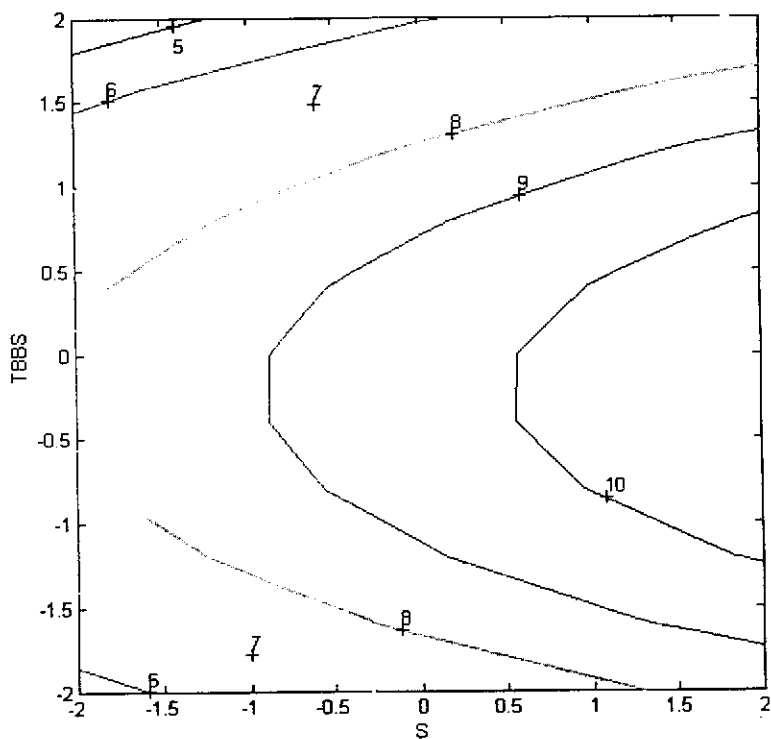


(ค) TBBS เท่ากับ 5.00 (รหัส 1.682)

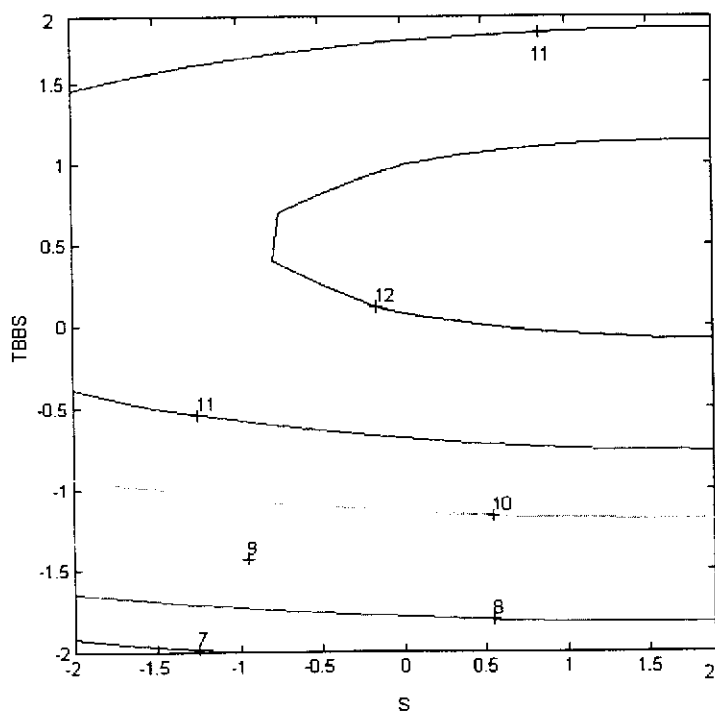
ภาพประกอบ ค.3 อิทธิพลของอัตราส่วนยาง RSS/SKIM และปริมาณกำมะถันต่อค่า scorch time



(ก) RSS/SKIM เท่ากับ 0.25 (รหัส -1.682)

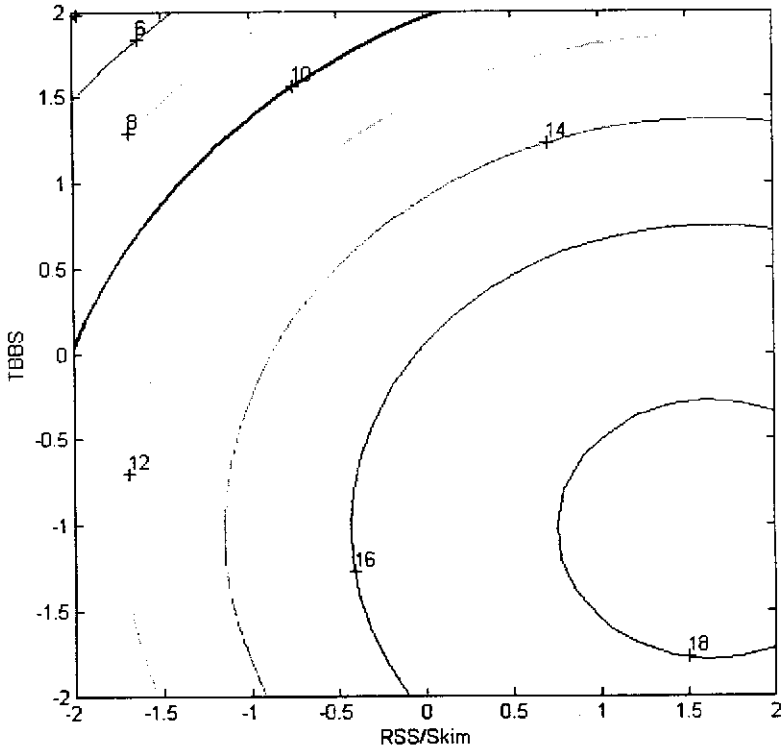


(ข) RSS/SKIM เท่ากับ 2.12 (รหัส 0)

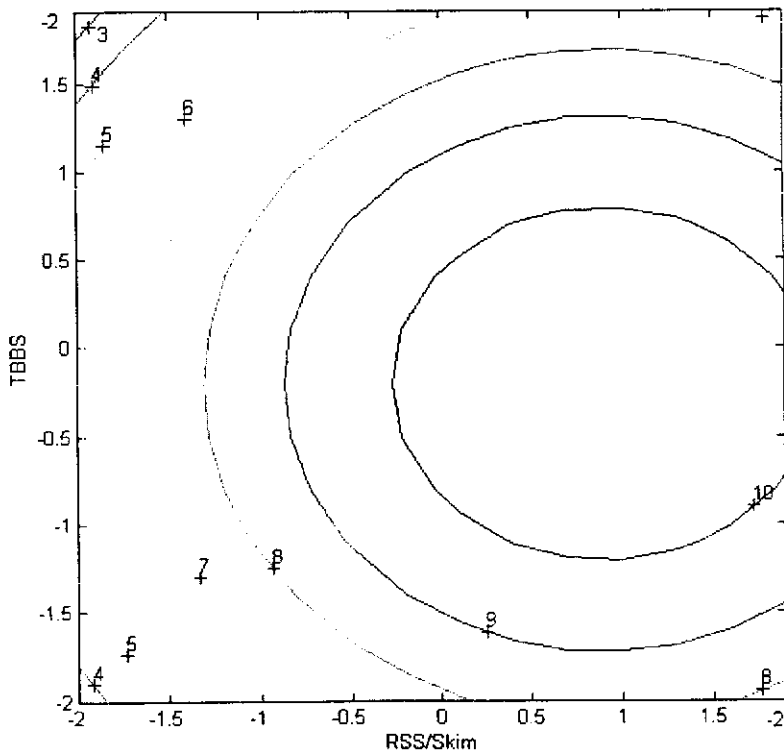


(ค) RSS/SKIM เท่ากับ 4.00 (รหัส 1.682)

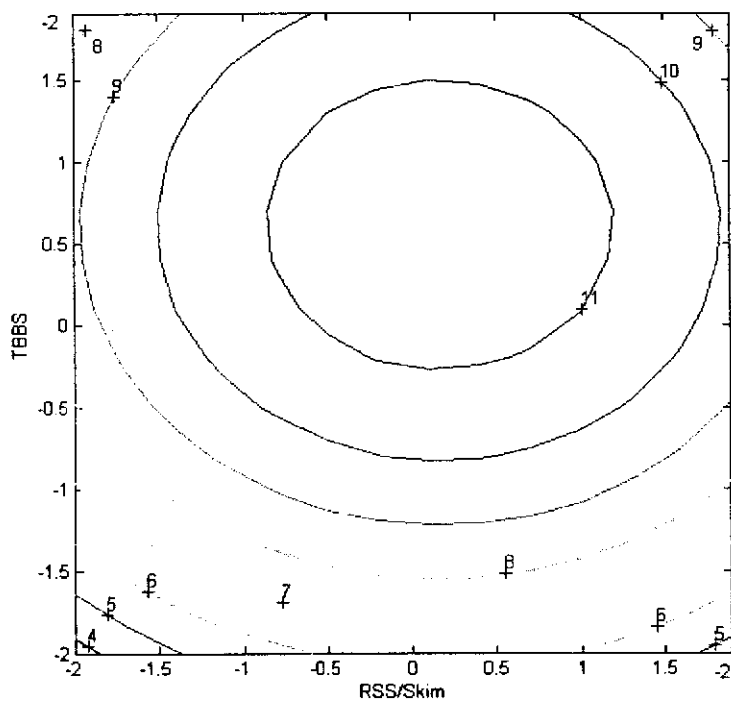
ภาพประกอบ ค.4 อิทธิพลของปริมาณกำมะถันและปริมาณสารตัวเร่ง TBBS ต่อค่า cure time



(ก) S เท่ากับ 0.50 (รหัส -1.682)

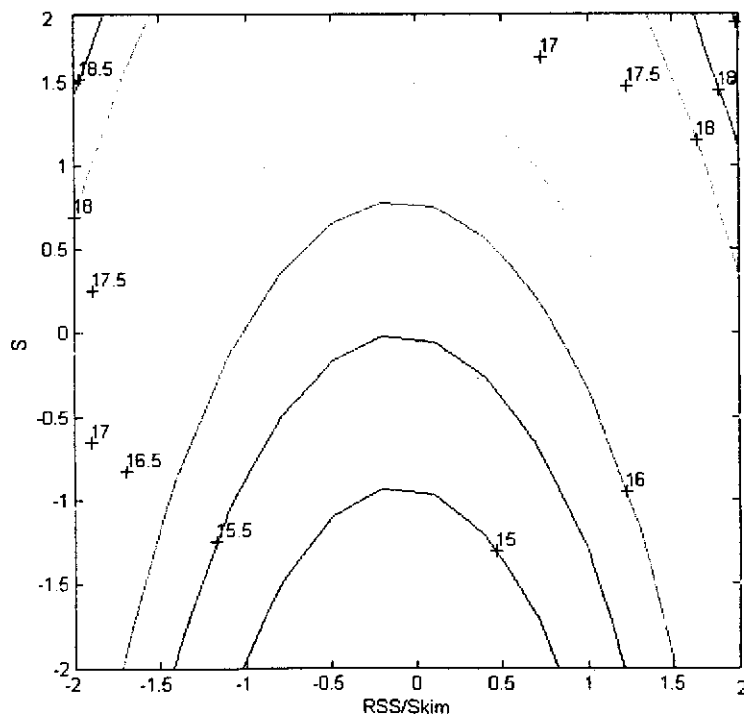


(ข) S เท่ากับ 1.50 (รหัส 0)

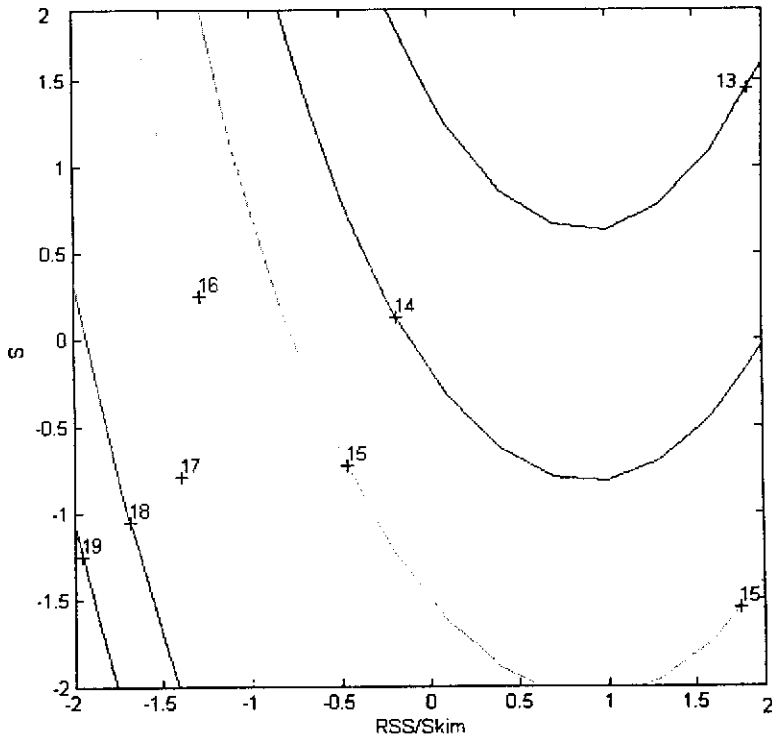


(ค) S เท่ากับ 2.50 (รหัส 1.682)

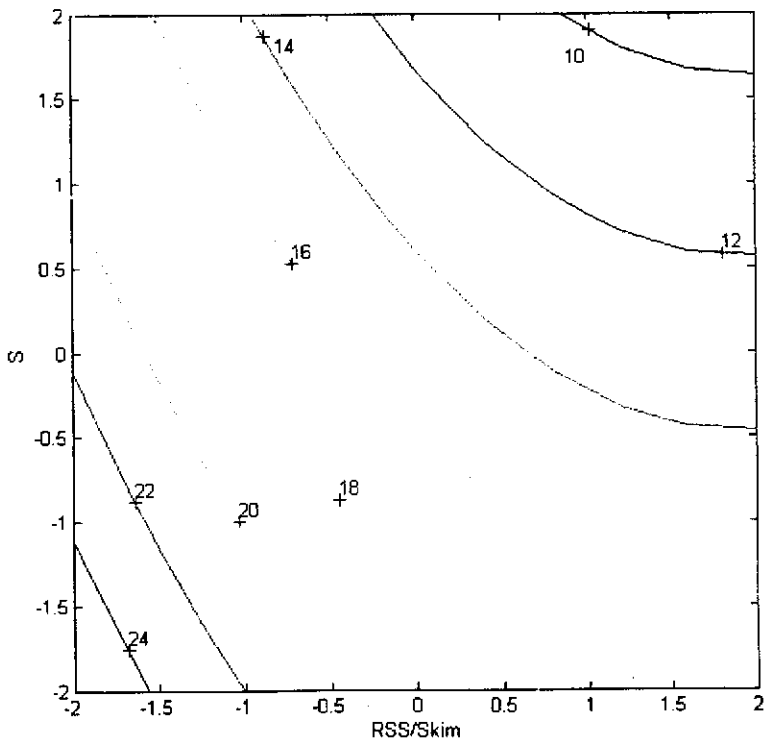
ภาพประกอบ ค.5 อิทธิพลของอัตราส่วนยาง RSS/SKIM และปริมาณสารตัวเร่ง TBBS ต่อค่า cure time



(ก) TBBS เท่ากับ 0.75 (รหัส -1.682)

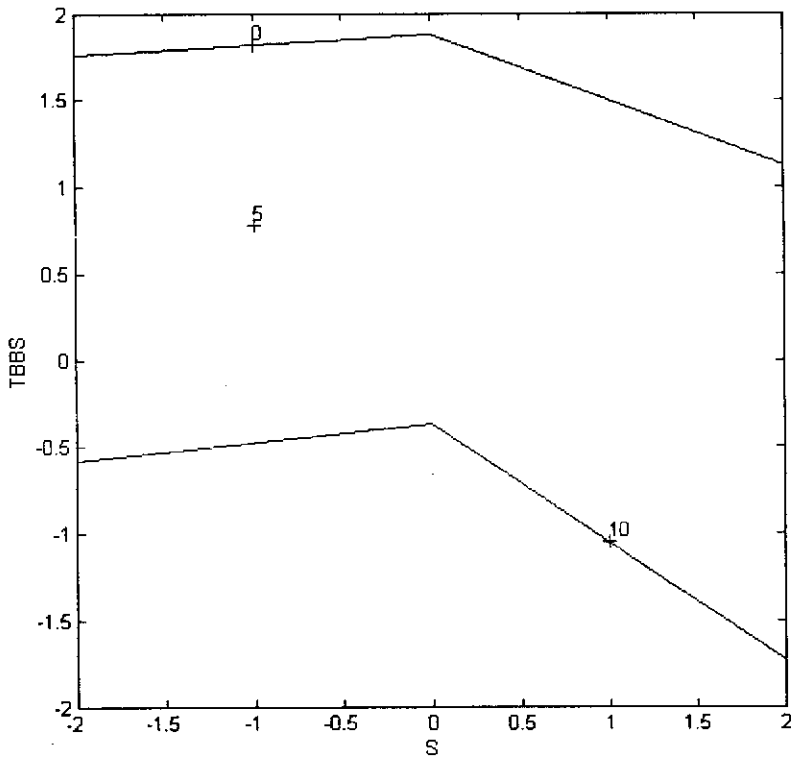


(ข) TBBS เท่ากับ 2.88 (รหัส 0)

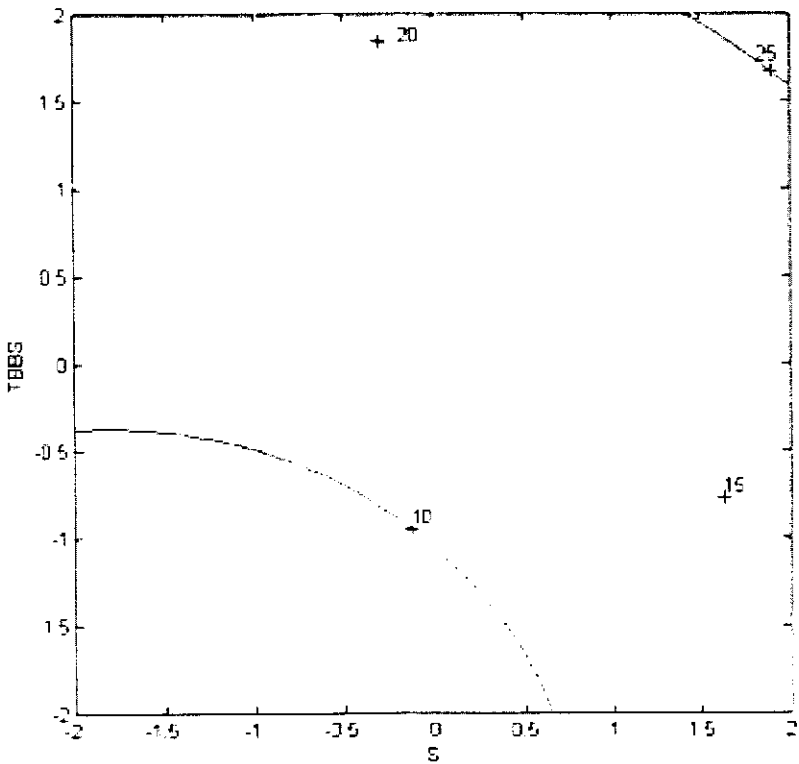


(ค) TBBS เท่ากับ 5.00 (รหัส 1.682)

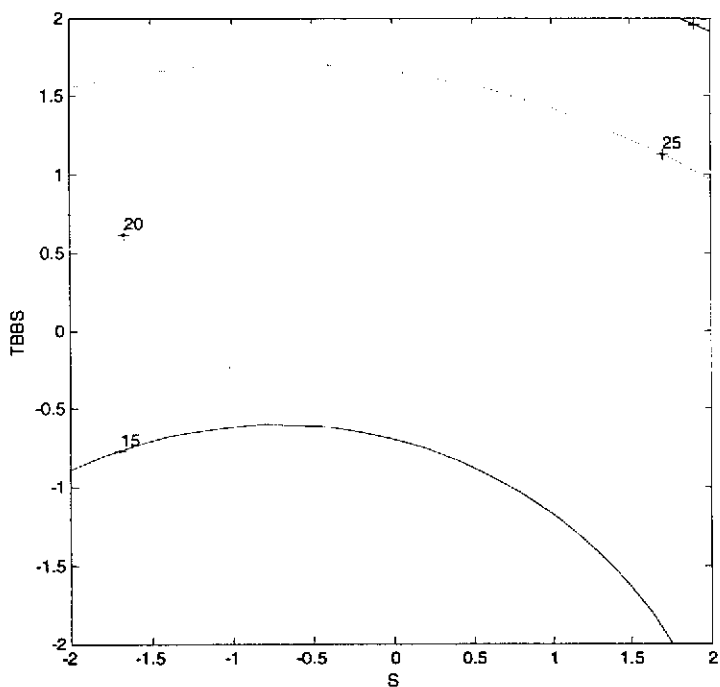
ภาพประกอบ ค.6 อิทธิพลของอัตราส่วนยาง RSS/SKIM และปริมาณกำมะถันต่อค่า cure time



(ก) RSS/SKIM เท่ากับ 0.25 (รหัส -1.682)

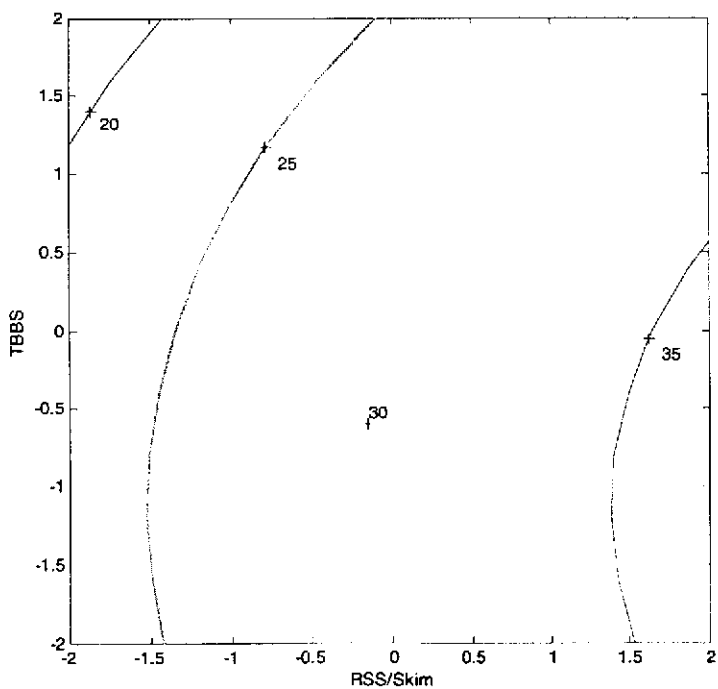


(ข) RSS/SKIM เท่ากับ 2.12 (รหัส 0)

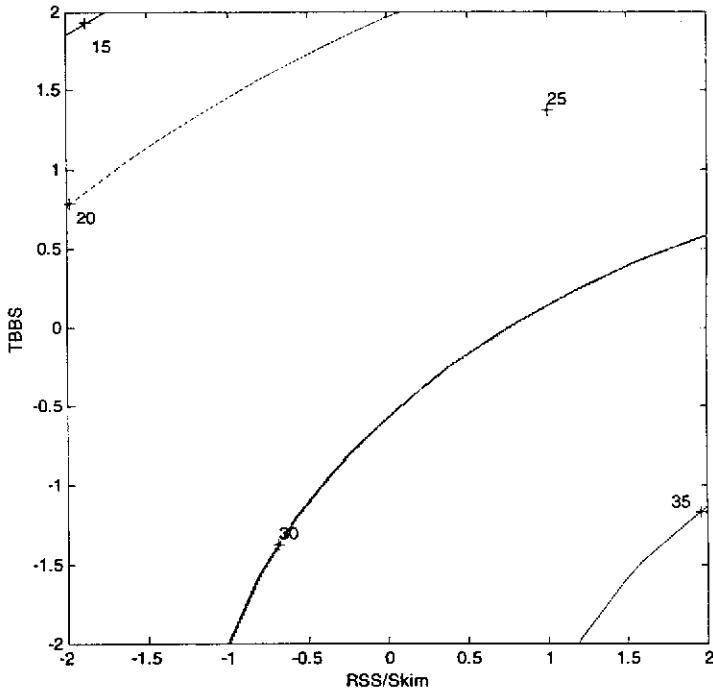


(ค) RSS/SKIM เท่ากับ 4.00 (รหัส 1.682)

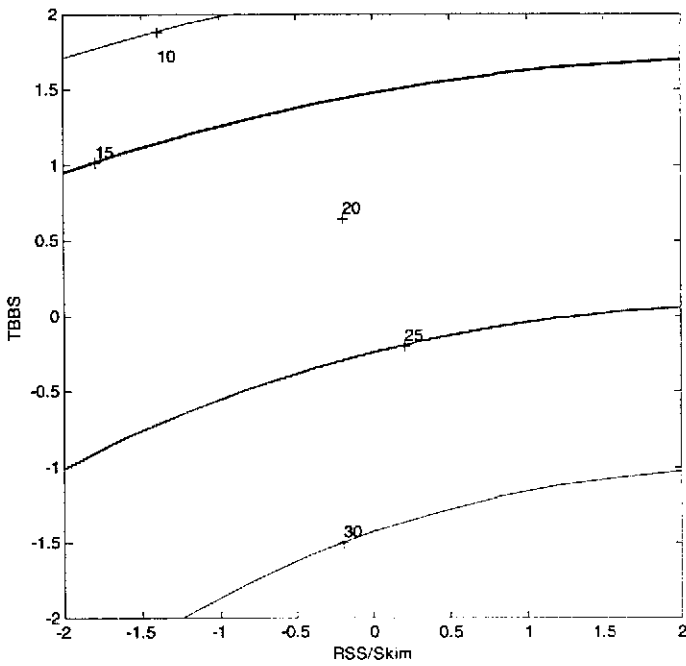
ภาพประกอบ ค.7 อิทธิพลของปริมาณกำมะถันและปริมาณสารตัวเร่ง TBBS ต่อค่า tensile strength



(ค) S เท่ากับ 0.50 (รหัส -1.682)

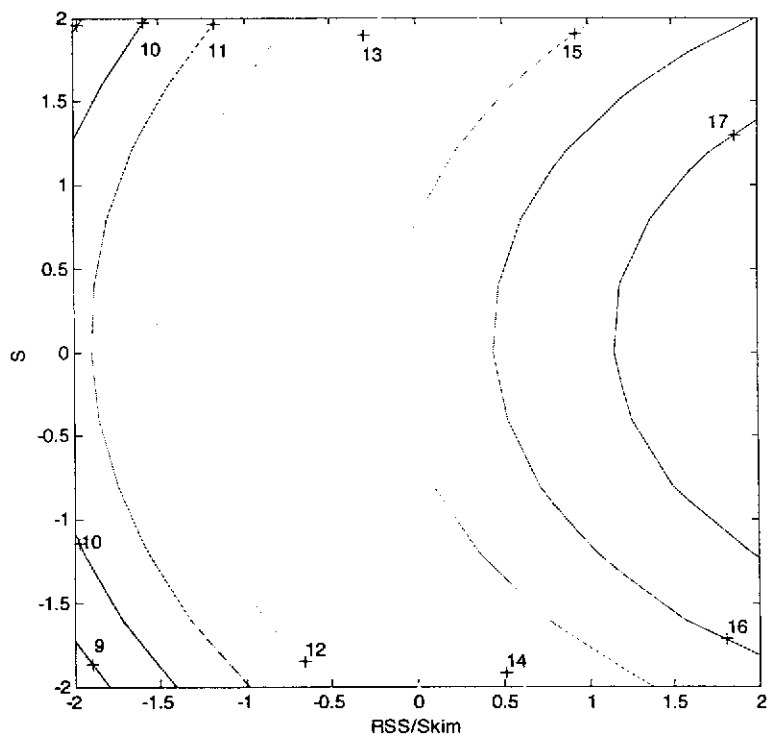


(ข) S เท่ากับ 1.50 (รหัส 0)

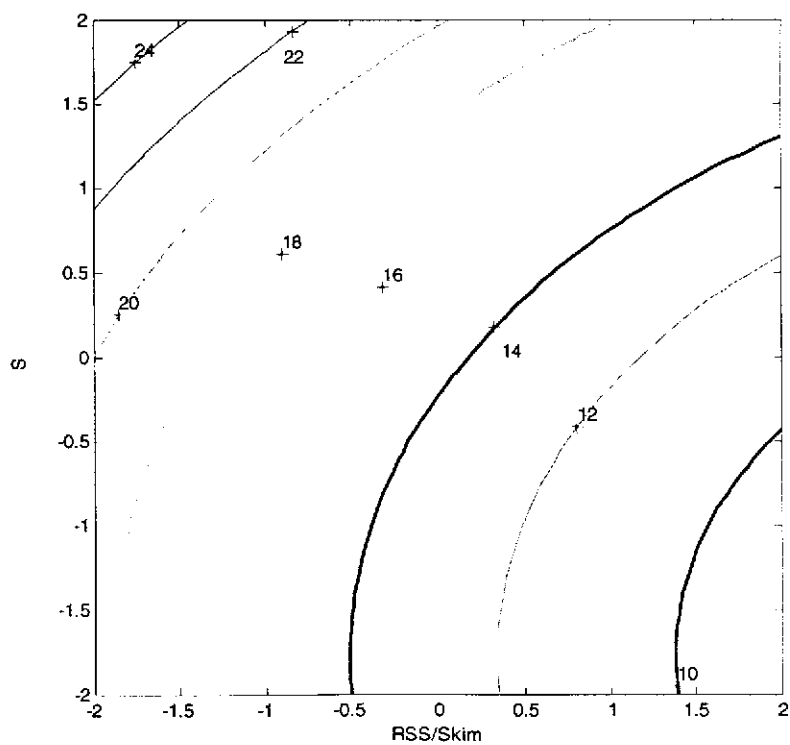


(ค) S เท่ากับ 2.50 (รหัส 1.682)

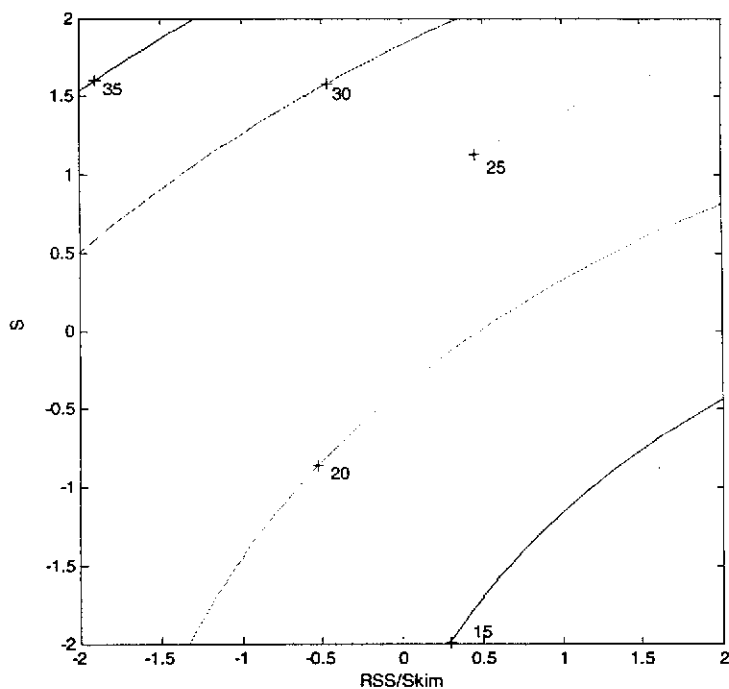
ภาพประกอบ ค.8 อิทธิพลของอัตราส่วนยาง RSS/SKIM และปริมาณสารตัวเร่ง TBBS ต่อค่า tensile strength



(ก) TBBS เท่ากับ 0.75 (รหัส -1.682)

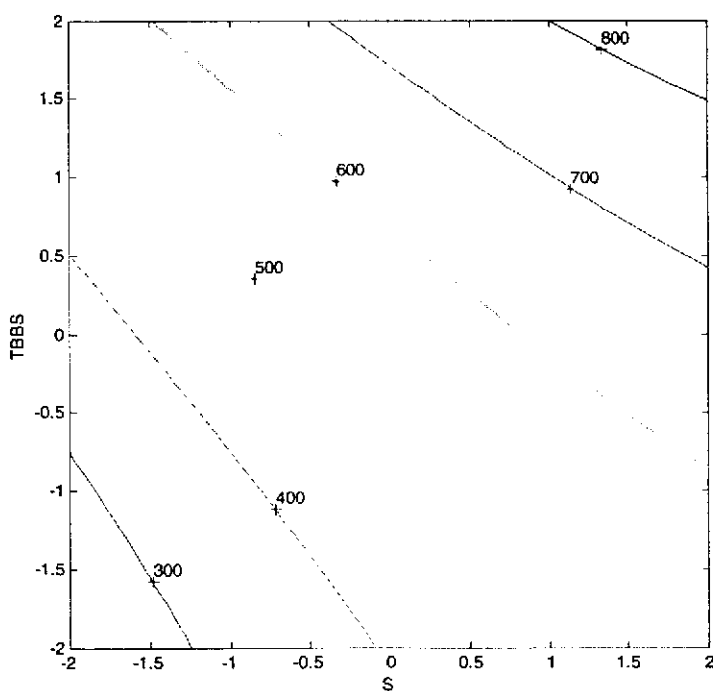


(ข) TBBS เท่ากับ 2.88 (รหัส 0)

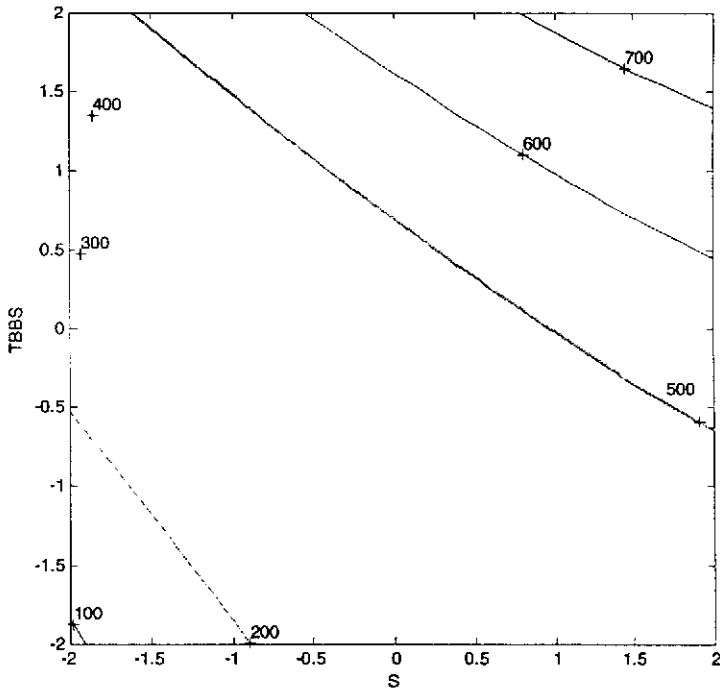


(ค) TBBS เท่ากับ 5.00 (รหัส 1.682)

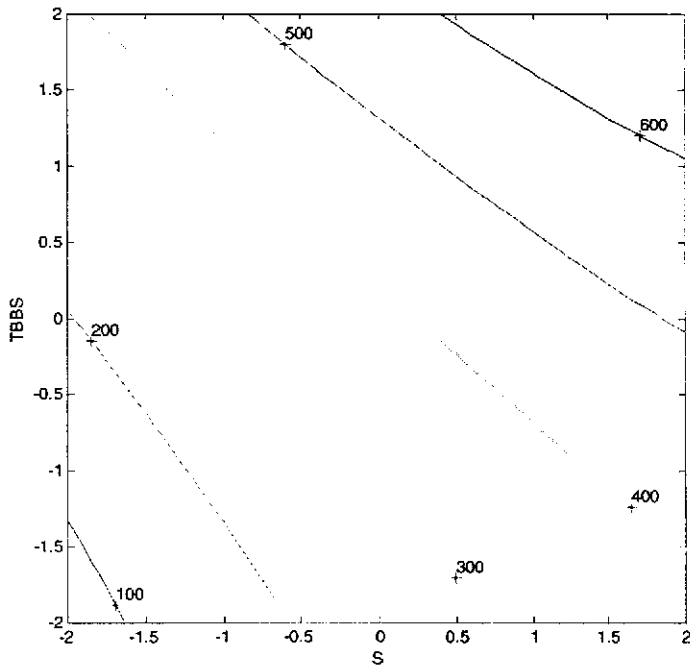
ภาพประกอบ ค.9 อิทธิพลของอัตราส่วนยาง RSS/SKIM และปริมาณกำมะถันต่อค่า tensile strength



(ก) RSS/SKIM เท่ากับ 0.25 (รหัส -1.682)

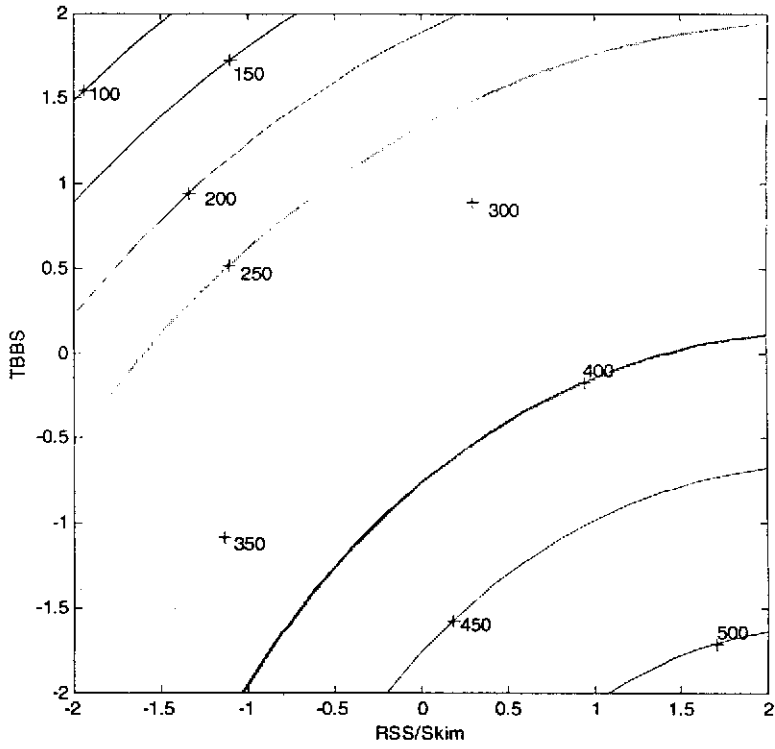


(ข) RSS/SKIM เท่ากับ 2.12 (รหัส 0)

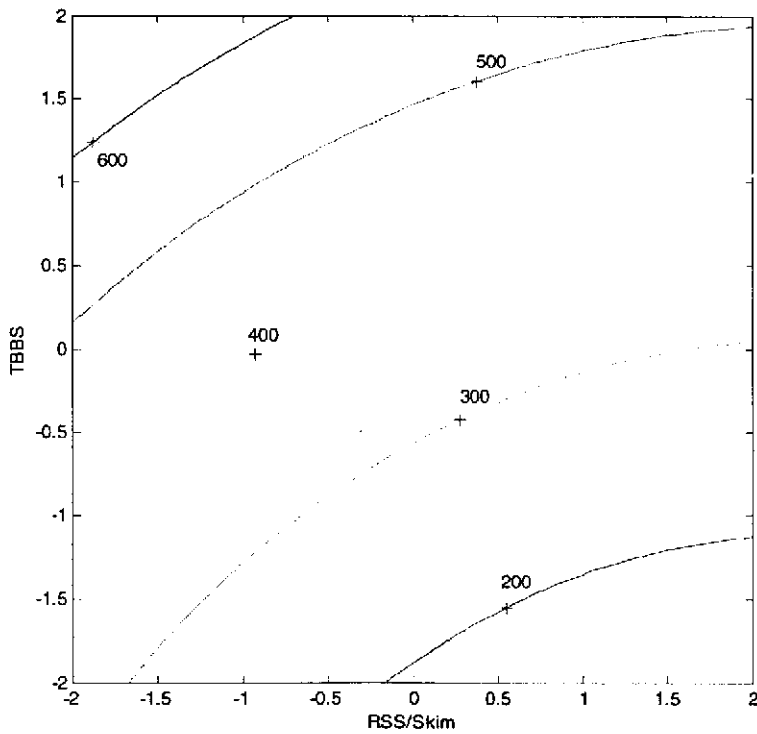


(ค) RSS/SKIM เท่ากับ 4.00 (รหัส 1.682)

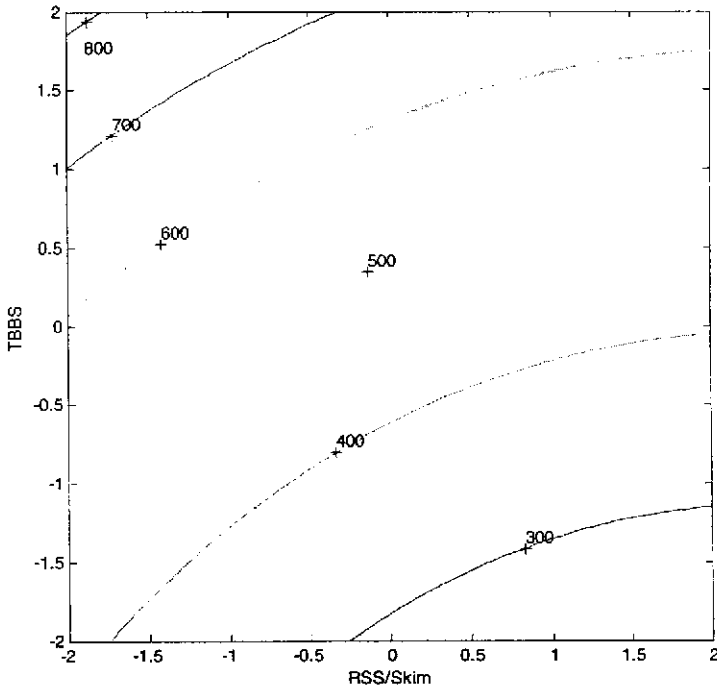
ภาพประกอบ ค.10 อิทธิพลของปริมาณกำมะถันและปริมาณสารตัวเร่ง TBBS ต่อค่า elongation at break



(ก) S เท่ากับ 0.50 (รหัส -1.682)

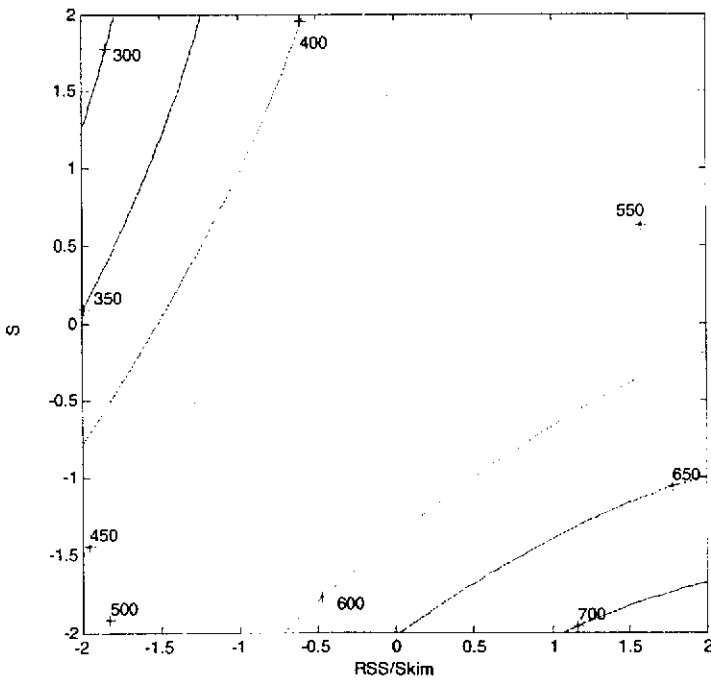


(ข) S เท่ากับ 1.50 (รหัส 0)

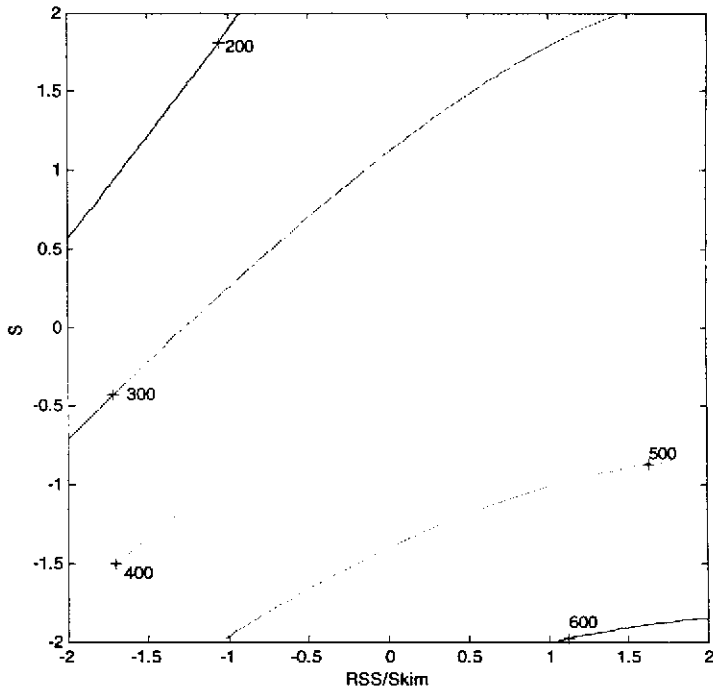


(ค) S เท่ากับ 2.50 (รหัส 1.682)

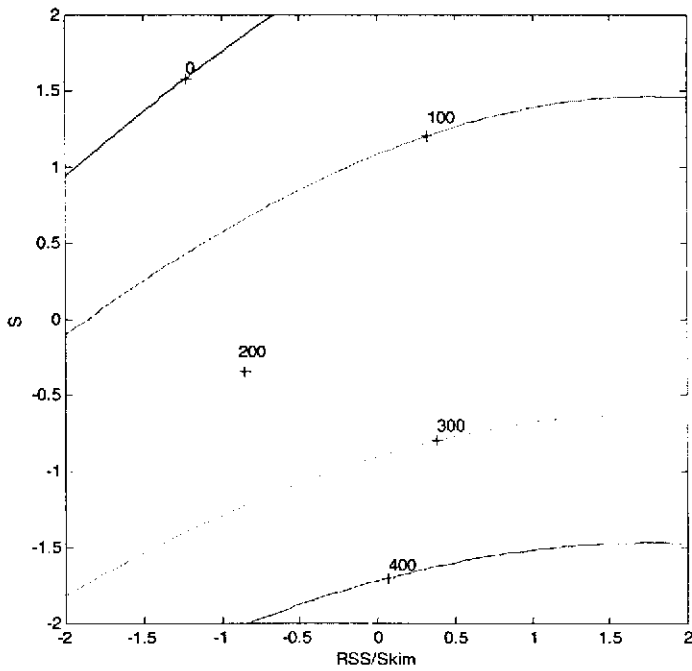
ภาพประกอบ ค.11 อิทธิพลของอัตราส่วนยาง RSS/SKIM และปริมาณสารตัวเร่ง TBBS ต่อค่า elongation at break



(ก) TBBS เท่ากับ 0.75 (รหัส -1.682)

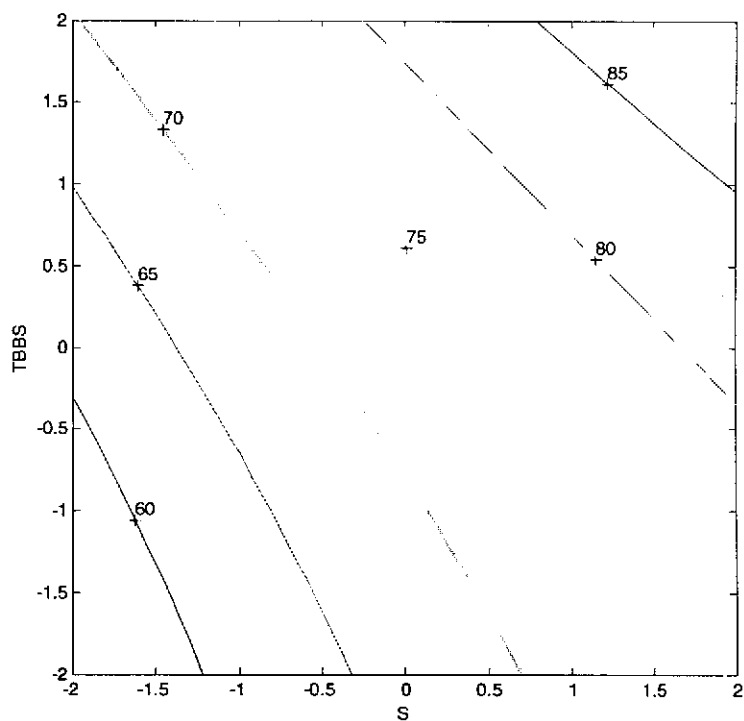


(ข) TBBS เท่ากับ 2.88 (รหัส 0)

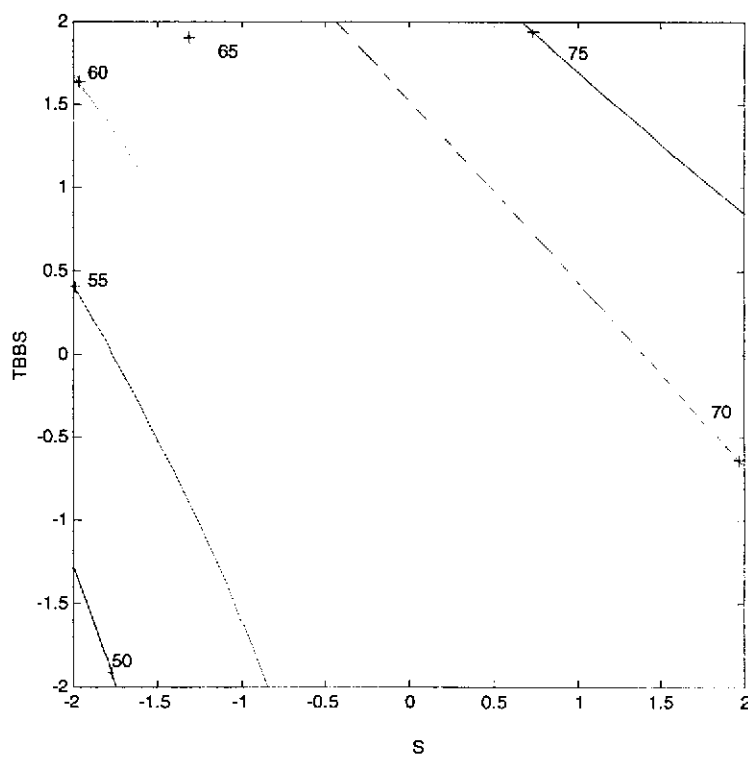


(ค) TBBS เท่ากับ 5.00 (รหัส 1.682)

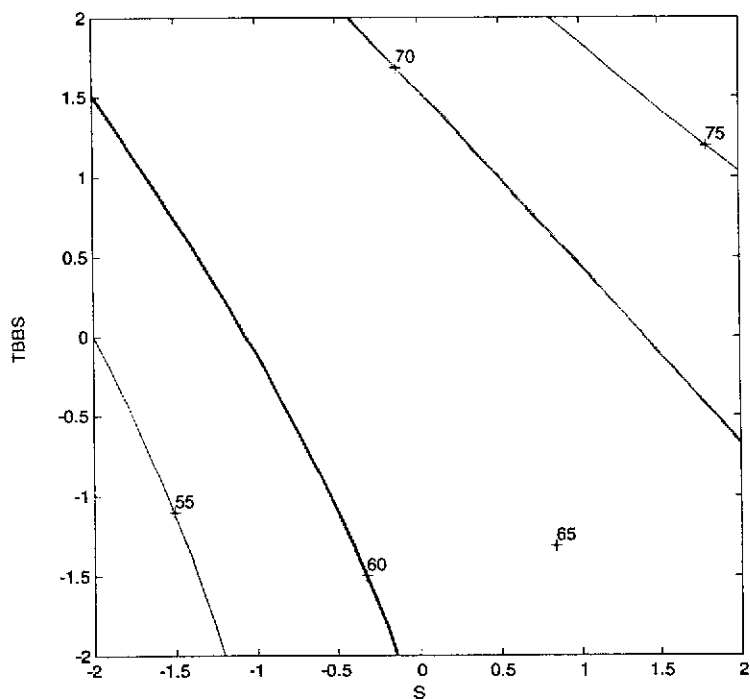
ภาพประกอบ ค.12 อิทธิพลของอัตราส่วนยาง RSS/SKIM และปริมาณกำมะถันต่อค่า elongation at break



(ก) RSS/SKIM เท่ากับ 0.25 (รหัส -1.682)

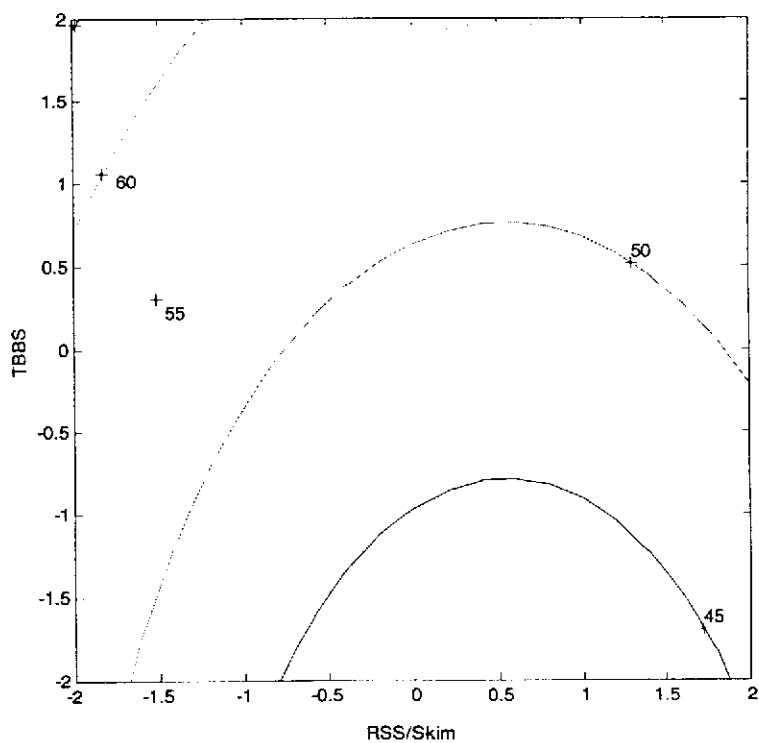


(ข) RSS/SKIM เท่ากับ 2.12 (รหัส 0)

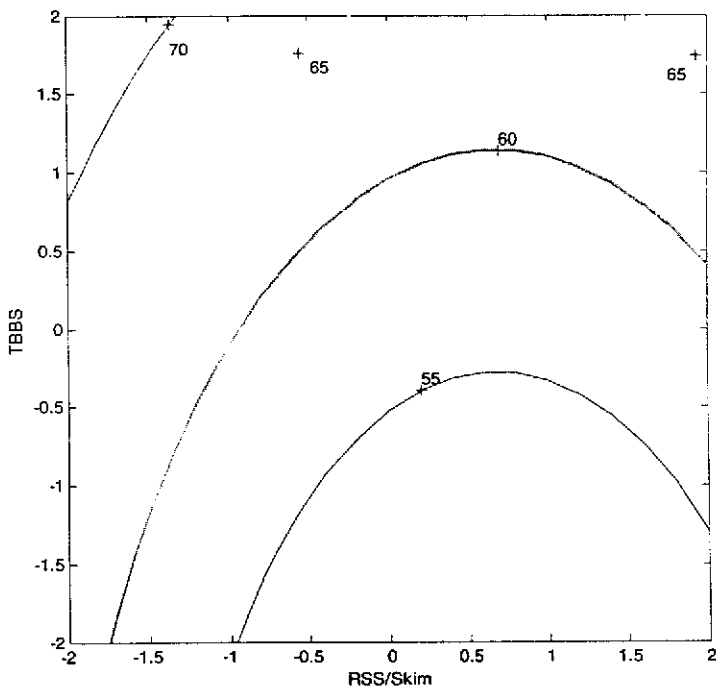


(ค) RSS/SKIM เท่ากับ 4.00 (รหัส 1.682)

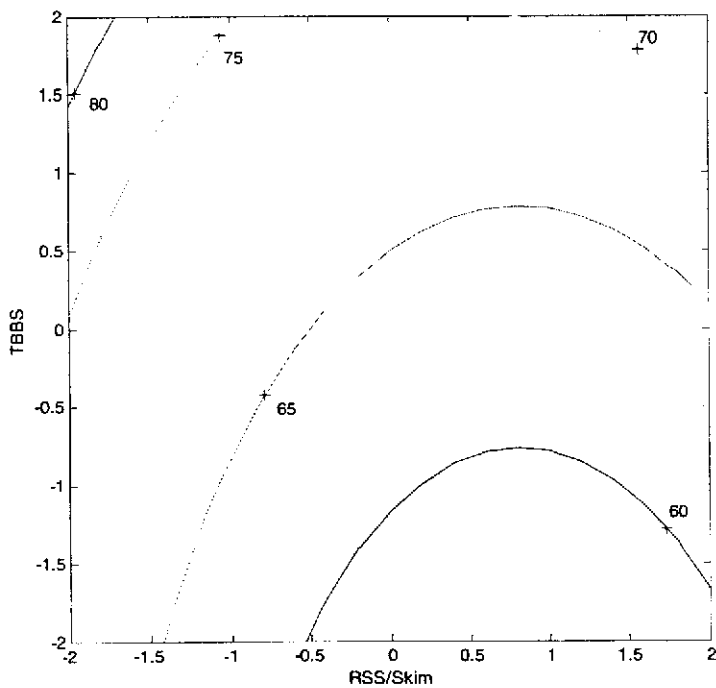
ภาพประกอบ ค.13 อิทธิพลของปริมาณกำมะถันและปริมาณสารตัวเร่ง TBBS ต่อค่าความแข็ง



(ค) S เท่ากับ 0.50 (รหัส -1.682)

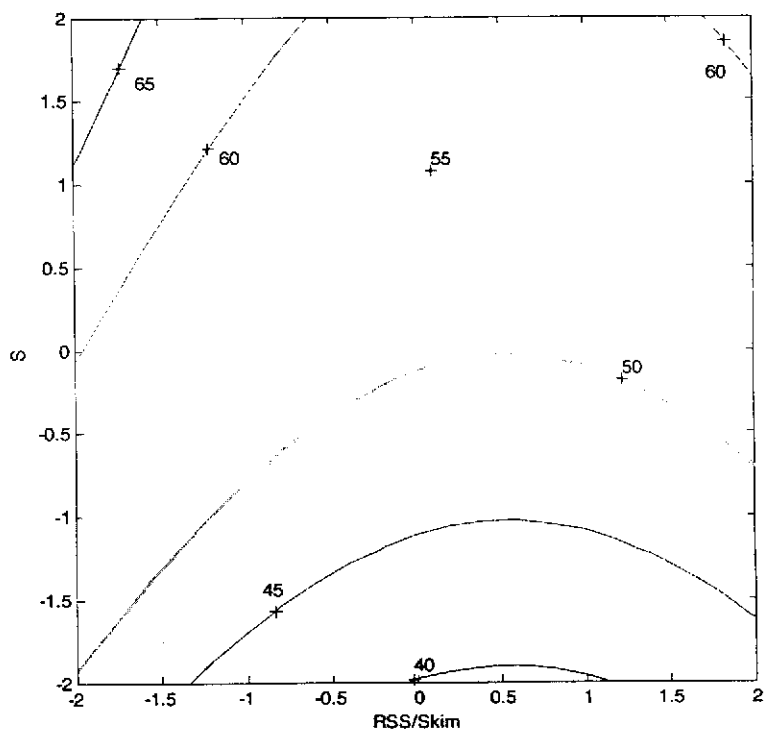


(ข) S เท่ากับ 1.50 (รหัส 0)

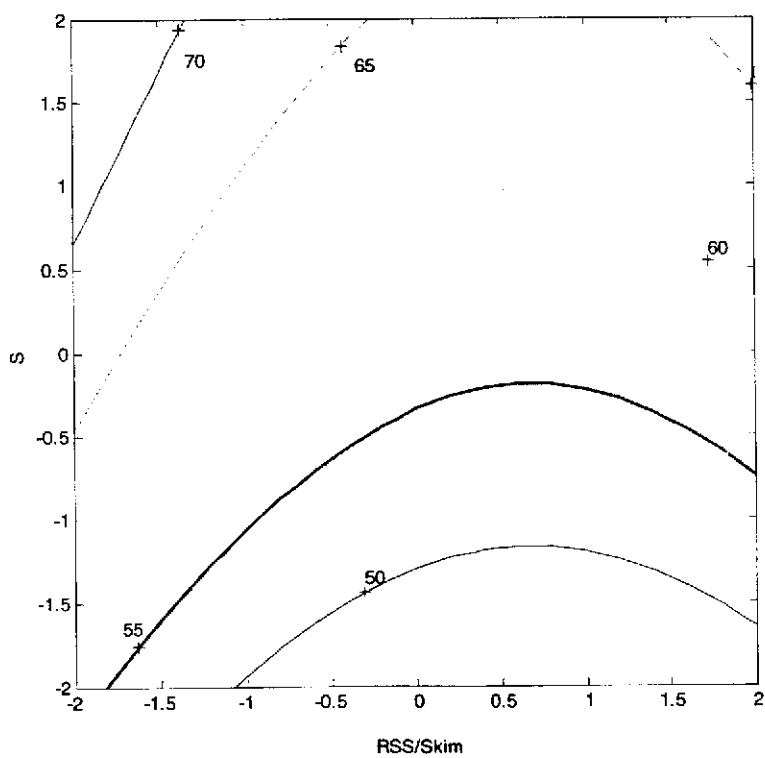


(ค) S เท่ากับ 2.50 (รหัส 1.682)

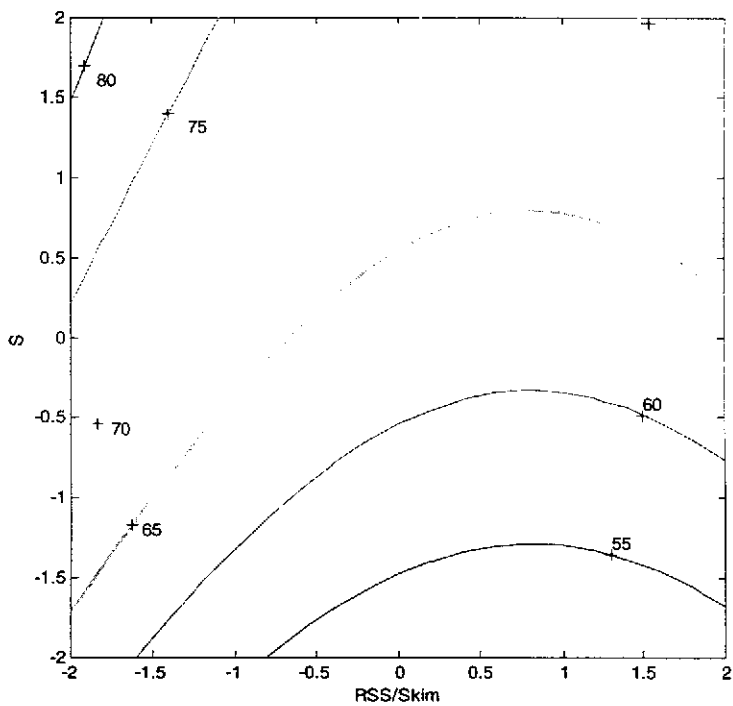
ภาพประกอบ ค.14 อิทธิพลของอัตราส่วนยาง RSS/SKIM และปริมาณสารตัวเร่ง TBBS ต่อค่า
ความแข็ง



(ก) TBBS เท่ากับ 0.75 (รหัส -1.682)

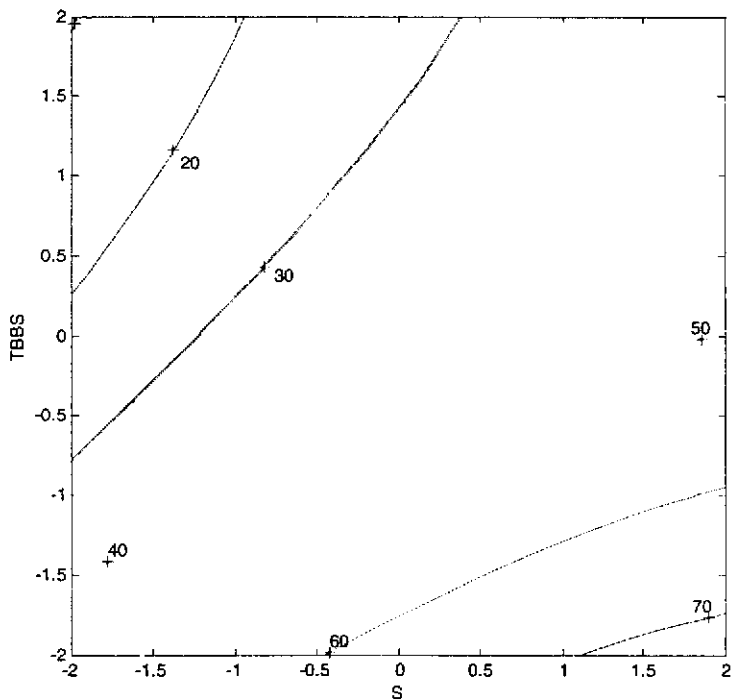


(ข) TBBS เท่ากับ 2.88 (รหัส 0)

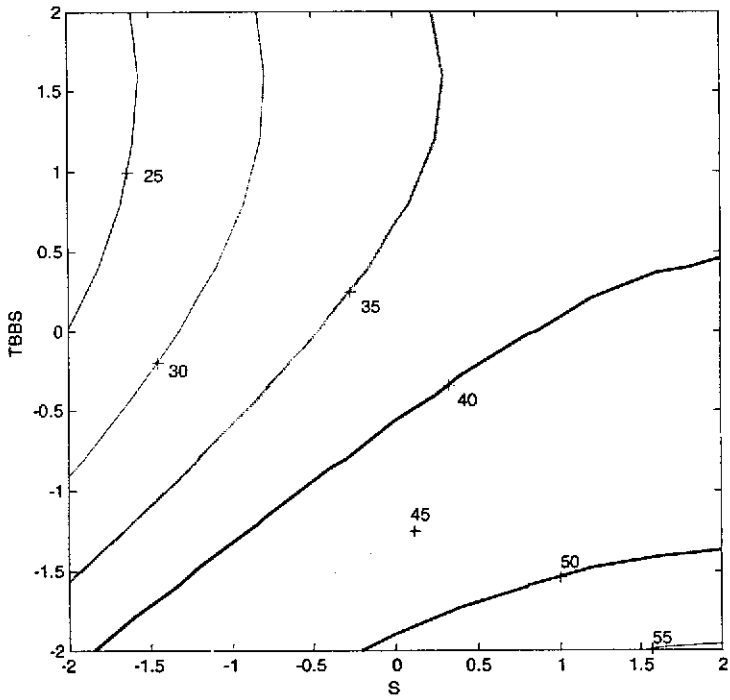


(ค) TBBS เท่ากับ 5.00 (รหัส 1.682)

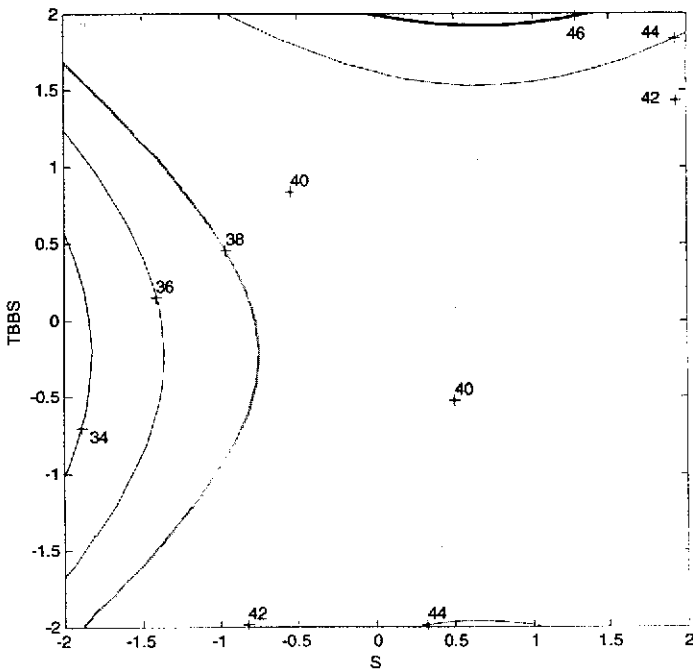
ภาพประกอบ ค.15 อิทธิพลของอัตราส่วนยาง RSS/SKIM และปริมาณกำมะถัน ต่อค่าความแข็ง



(ก) RSS/SKIM เท่ากับ 0.25 (รหัส -1.682)

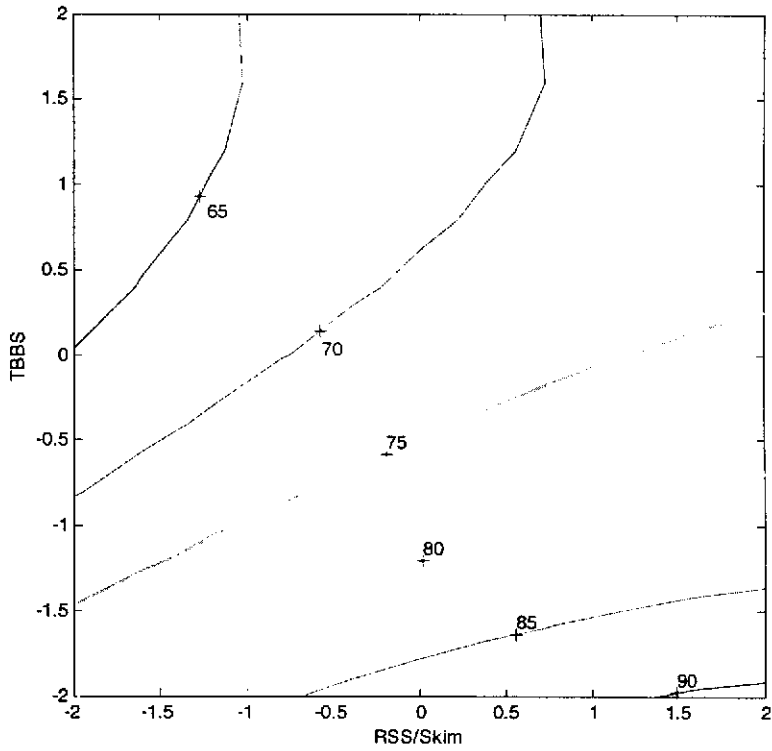


(ข) RSS/SKIM เท่ากับ 2.12 (รหัส 0)

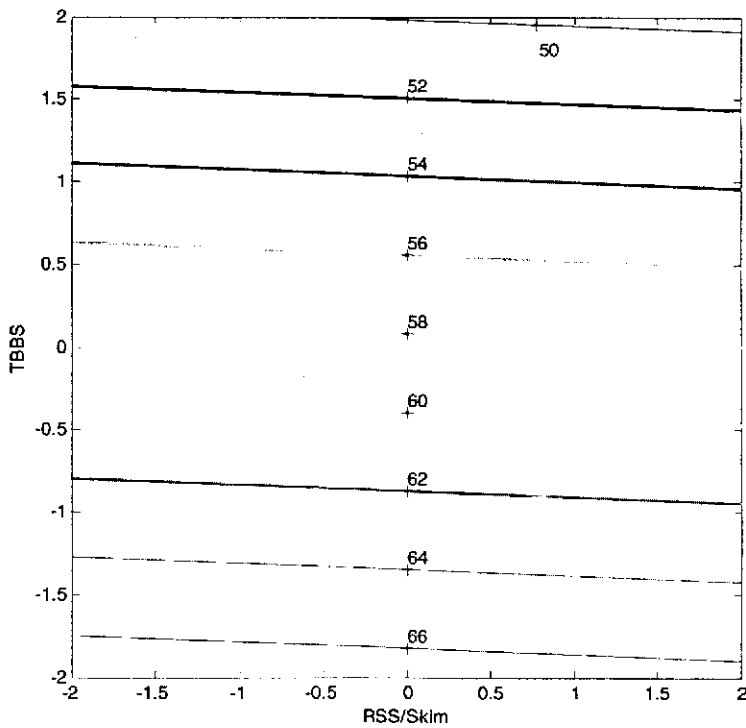


(ค) RSS/SKIM เท่ากับ 4.00 (รหัส 1.682)

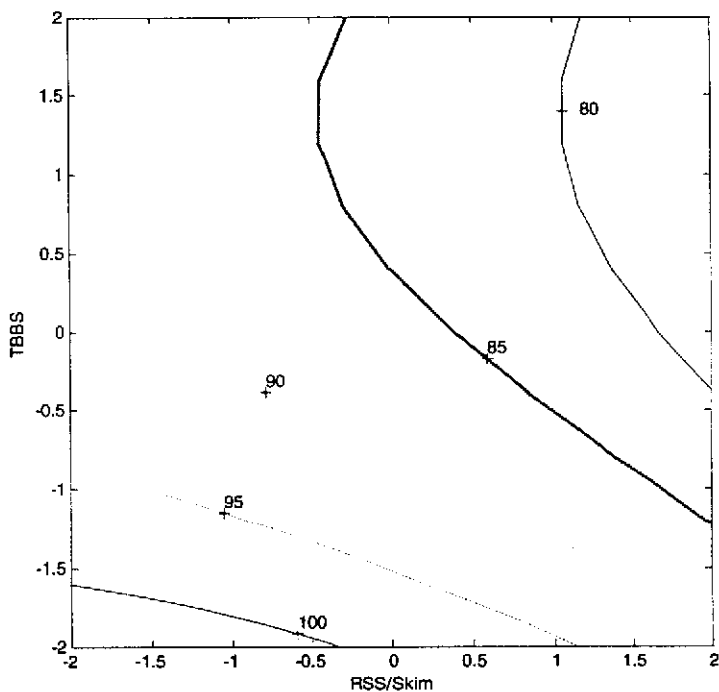
ภาพประกอบ ค.16 อิทธิพลของปริมาณกำมะถันและปริมาณสารตัวเร่ง TBBS ต่อค่า compression set



(ก) S เท่ากับ 0.50 (รหัส -1.682)

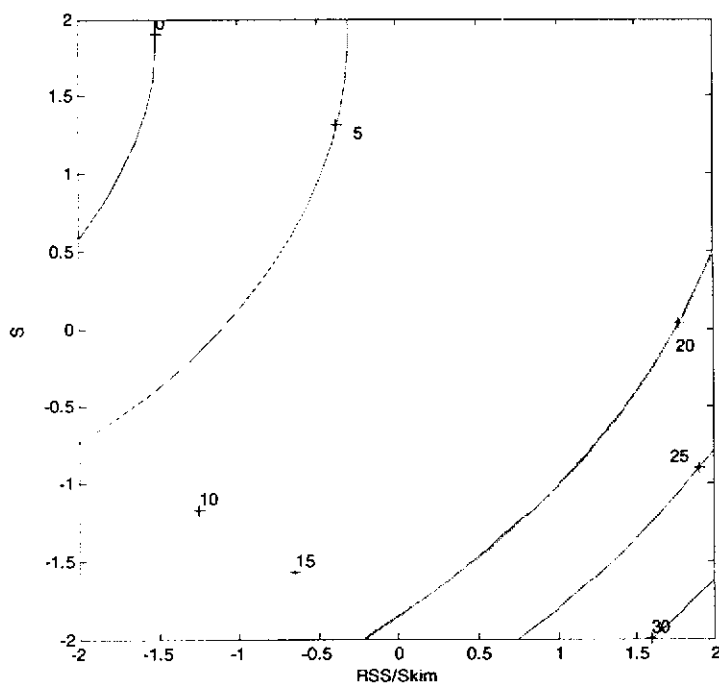


(ข) S เท่ากับ 1.50 (รหัส 0)

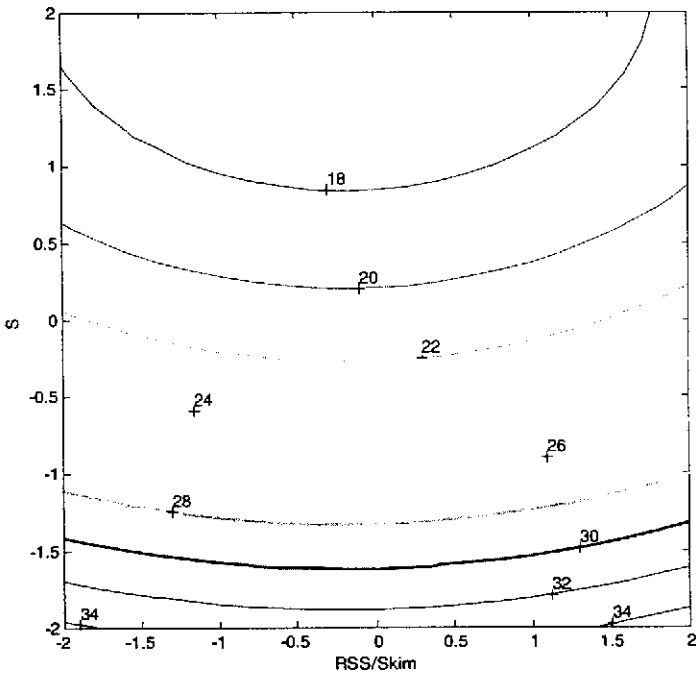


(ค) S เท่ากับ 2.50 (รหัส 1.682)

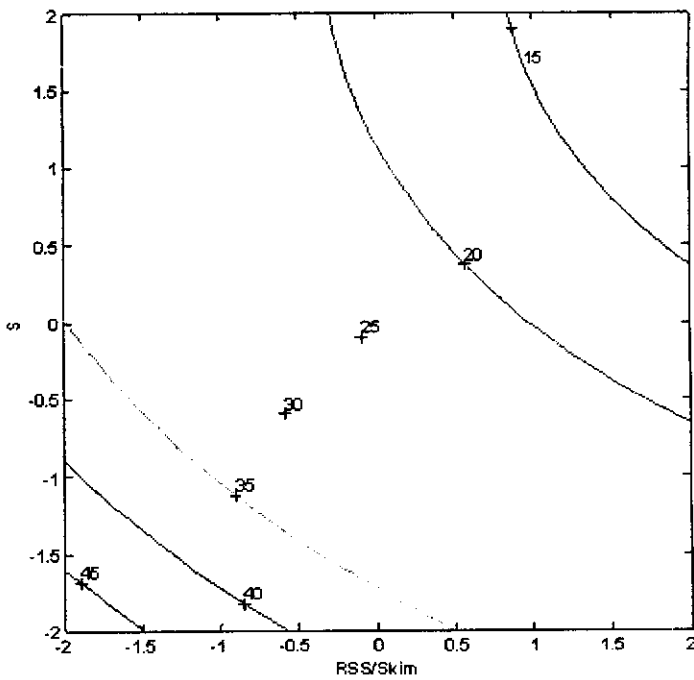
ภาพประกอบ ค.17 อิทธิพลของอัตราส่วนยาง RSS/SKIM และปริมาณสารตัวเร่ง TBBS ต่อค่า compression set



(ก) TBBS เท่ากับ 0.75 (รหัส -1.682)



(ข) TBBS เท่ากับ 2.88 (รหัส 0)



(ค) TBBS เท่ากับ 5.00 (รหัส 1.682)

ภาพประกอบ ค.18 อิทธิพลของอัตราส่วนยาง RSS/SKIM และปริมาณกำมะถัน ต่อค่า compression

set